

Р С Ф С Р
МИНИСТЕРСТВО АВТОМОБИЛЬНЫХ ДОРОГ
Государственный дорожный проектно-изыскательский
и научно-исследовательский институт "ГипрдорНИИ"

"Утверждаю"
~~Директор ГипрдорНИИ~~
~~Куницин~~ Е.К.Куницев
"17" ~~июня~~ 1980г

МЕТОДИЧЕСКИЕ РЕКОМЕНДАЦИИ
ПО ГИДРАВЛИЧЕСКИМ И РУСЛОВЫМ РАСЧЁТАМ
МОСТОВЫХ ПЕРЕХОДОВ

Москва 1980 г

ПРЕДИСЛОВИЕ

Проектирование мостовых переходов включает большой комплекс расчетов, одной из важнейших частей которых являются гидравлические и русловые расчеты, во многом определяющие генеральные размеры переходов.

Необходимость разработки "Методических рекомендаций по гидравлическим и русловым расчетам мостовых переходов" вызвана значительным совершенствованием методов расчета после выхода в свет в 1972 г. "Наставления по изысканиям и проектированию железнодорожных и автомобильных мостовых переходов через водотоки" (НИМП-72) и в 1976 г. "Методического пособия по гидрологическому и гидравлическому обоснованию проектов мостовых переходов" (ГипроДорНИИ).

Настоящие "Методические рекомендации" включают лишь те вопросы, которые получили в последние годы значительное развитие. При решении других вопросов необходимо обращаться к указанным выше изданиям и изданиям, перечисленным в списке рекомендуемой литературы.

"Методические рекомендации" составлены главным специалистом ГипроДорНИИ, кандидатом технических наук Г. С. Пичуговым.

При подготовке материалов автор пользовался консультациями доцента Московского автомобильно-дорожного института доктора технических наук Г. А. Федотова.

На "Методические рекомендации" получены положительные рецензии от Гипротрансмоста, кафедры проектирования дорог МАДИ и ряда филиалов ГипроДорНИИ. Они одобрены сессией НТС проектийной части ГипроДорНИИ.

О всех замечаниях и пожеланиях, возникающих при использовании "Методических рекомендаций", просьба сообщать по адресу: 109089, Москва, Ж-89, наб. Мориса Тореза, 34, ГипроДорНИИ, технический отдел.

I. СЕЧИЕ УКАЗАНИЯ

Гидравлические и русловые расчеты в большинстве случаев являются основой для назначения отверстий мостов, глубины фундирования опор, размеров искусственных уширений, отметок сровок земляного полотна на подходах, назначения укреплений и т.д.

Расчет оптимального отверстия моста должен производиться в комплексе с расчетом назначения глубины фундирования опор, с учетом тех возможных отрицательных последствий, которые могут появиться после постройки мостового перехода.

При назначении отверстия моста, определении глубины заложения фундаментов опор, проектировании регуляционных сооружений необходимо учитывать возможные природные деформации русла, которые наблюдаются на водотоках в бывших условиях и часто интенсифицируются после постройки перехода.

Плановые природные деформации могут вызвать смещение русла в пределах отверстия моста с приближением к устоям, излучине реки могут приблизиться к насыпи подходов и угрожать ее сохранности, кроме этого может увеличиться ширина русла под мостом.

Глубинные природные деформации, в зависимости от типа руслового процесса [5,8], могут вызвать смещение максимальной глубины воды на участке реки в районе перехода как в поперечном, так и продольном направлении.

Избежать негативное влияние природных деформаций на работу мостового перехода можно как их учетом при назначении генеральных размеров перехода, так и соответствующей регуляцией руслового потока (спрямлением русла, устройством укреплений берегов, поперечных и продольных регуляционных сооружений).

Уширения подмостовых русел могут обуславливаться также стеснением паводкового потока подходами к мосту, которое приводит к искусенному изменению руслоформирующего расхода на участке мостового перехода.

Фундирование опор определяется суммой общего и местного размыва с учетом возможных глубинных природных деформаций.

При проектировании мостового перехода следует рассматривать целесообразность устройства одного или нескольких отверстий.

Дополнительные мосты, помимо основного, на переходах необходимы при наличии проток, используемых под судоходство, для цели водоснабжения и нужд рыбного промысла, а также для снижения общего подпора перед мостовым переходом и уменьшения подтопления населенных пунктов, предприятий и ценных угодий, для сохранения лесного массива и уменьшения заболачиваемости пойм, для улучшения условий судоходства в основном русле реки и уменьшения размыва, а следовательно, и глубины фундирования опор и т.д.

В некоторых случаях для осушения бессюочных частей пойм, а иногда и для целей водоснабжения и нужд рыбного промысла, устраиваются водопропускные трубы. Наличие на пойме водопропускных труб практически не влияет на гидравлическую работу основного руслового моста и на величину подпоров и размывов. Гидравлический расчет пойменных труб необходимо производить по перепаду уровней с верховой и низовой стороны насыпи, учитывая наихудшие условия, которые могут возникнуть при том или ином уровне.

Расчеты глубинных и боковых русловых деформаций и подпора (включая расчет групповых отверстий) на мостовых переходах рекомендуется производить (особенно в сложных случаях проектирования

на судоходных реках) с использованием ЭВМ по программе "Гидраг-С" и "Рур-Г"/10/ или по упрощенным методам расчета без обращения к ГВИ (приведенным ниже).

При расчете мостовых переходов в условиях подпора, ниже генитальных плотин, через блуждающие реки и при геологическом ограничении размыва следует пользоваться рекомендациями проф. О. Л. Андреева/1/.

При проектировании мостовых переходов в горно-предгорной зоне можно пользоваться "Рекомендациями по расчету отверстий мостов на реках горно-предгорной зоны" (Ростовский филиал Гипрдорнии, 1980г.).

Производить подготовку исходных данных и определять состав необходимых расчетов рекомендуется в соответствии с "Руководством по составу инженерно-гидрометеорологических изысканий и расчетом при проектировании водопропускных сооружений автомобильных дорог" (Гипрдорнии, 1979г.).

2. ОСНОВНЫЕ ПРИНЦИПЫ КОМПЛЕКСНОГО АВТОМАТИЗИРОВАННОГО РАСЧЕТА МОСТОВЫХ ПЕРЕХОДОВ

Комплексный расчет мостовых переходов рекомендуется производить на ЭВМ по программам "Гидрам-3" и "Рур-Г", являющимся реализацией методологии комплексного расчета мостовых переходов, разработанной д.т.н. Г.А.Федотовым [5,10].

Основу указанных программ составляет одновременное решение в конечных разностях строгих дифференциальных уравнений: уравнения баланса наносов Экснера, уравнения неразрывности неуставновившегося потока и уравнения неравномерного, плавно изменяющегося движения неуставновившегося потока в открытых неприматических руслах Сен-Венана.

Программы предусматривают расчет по длительной серии паводков с учетом, при необходимости, периода межени. Расчет можно производить по натурной серии паводков с вводом в ЭВМ каждого паводка без схематизации (ежедневные уровни в отчетах рейки ближайшего к оси перехода водостока).

Водомерные графики автоматически переносятся по кривой связи на ось перехода, которая вводится в ЭВМ в виде криволинейных отрезков. На реках с устойчивым гидрографом (когда разные по высоте паводки имеют приблизительно одинаковую форму, продолжительность и время подъема и спада) вполне допустимо расчет вести по типовой серии. В этом случае в ЭВМ вводится в табличной форме лишь один, наиболее характерный для всей серии водомерный график паводка, а каждый паводок натурной серии характеризуется лишь одним максимальным уровнем.

В программах учитывается нелинейность изменения руслового расхода вдоль потока и перераспределение общего

расхода между руслом и ложмой, при деформациях русла и свободной поверхности потока.

закон изменения ширины живого сечения вдоль потока может устанавливаться по данным натурных наблюдений и лабораторного моделирования или определяться по специально выведенным зависимостям.

Расход руслоформирующих наносов вычисляется как по теоретико-эмпирическим формулам, так и по данным натурных измерений. Расчет при этом может выполняться как по среднему диаметру донных отложений, так и по фракционно с автоматическим учетом отмостки дна русла крупными фракциями. Расчет расхода донных и взвешенных руслоформирующих наносов производится по формулам И.И.Леви. Входящие в формулы параметры свойств донных и взвешенных наносов наиболее точно определяются по данным гидрометрических измерений, а при их отсутствии - по эмпирическим формулам.

При решении дифференциальных уравнений водомерные графики падежков $H_i = f(t)$ заменяются ступенчатыми с шагом Δt (см. рис.2.1). Весь исследуемый участок русла делится на ряд отрезков длиной $\Delta \ell_m$ и средней шириной B_{pm} (см.рис.2.2).

Программа "Гидрам-3" позволяет решать следующие задачи:

- расчет во времени общих размывов под мостами как при однородном, так и слоистом строении русла, с учетом возможной отмостки дна русла крупными фракциями;
- построение кривых свободной поверхности потока с учетом взаимодействия с русловыми деформациями;
- анализ работы искусственных уширений русел(резок);
- расчет возможных русловых деформаций на значительном протяжении вверх и вниз от оси моста с целью прогноза

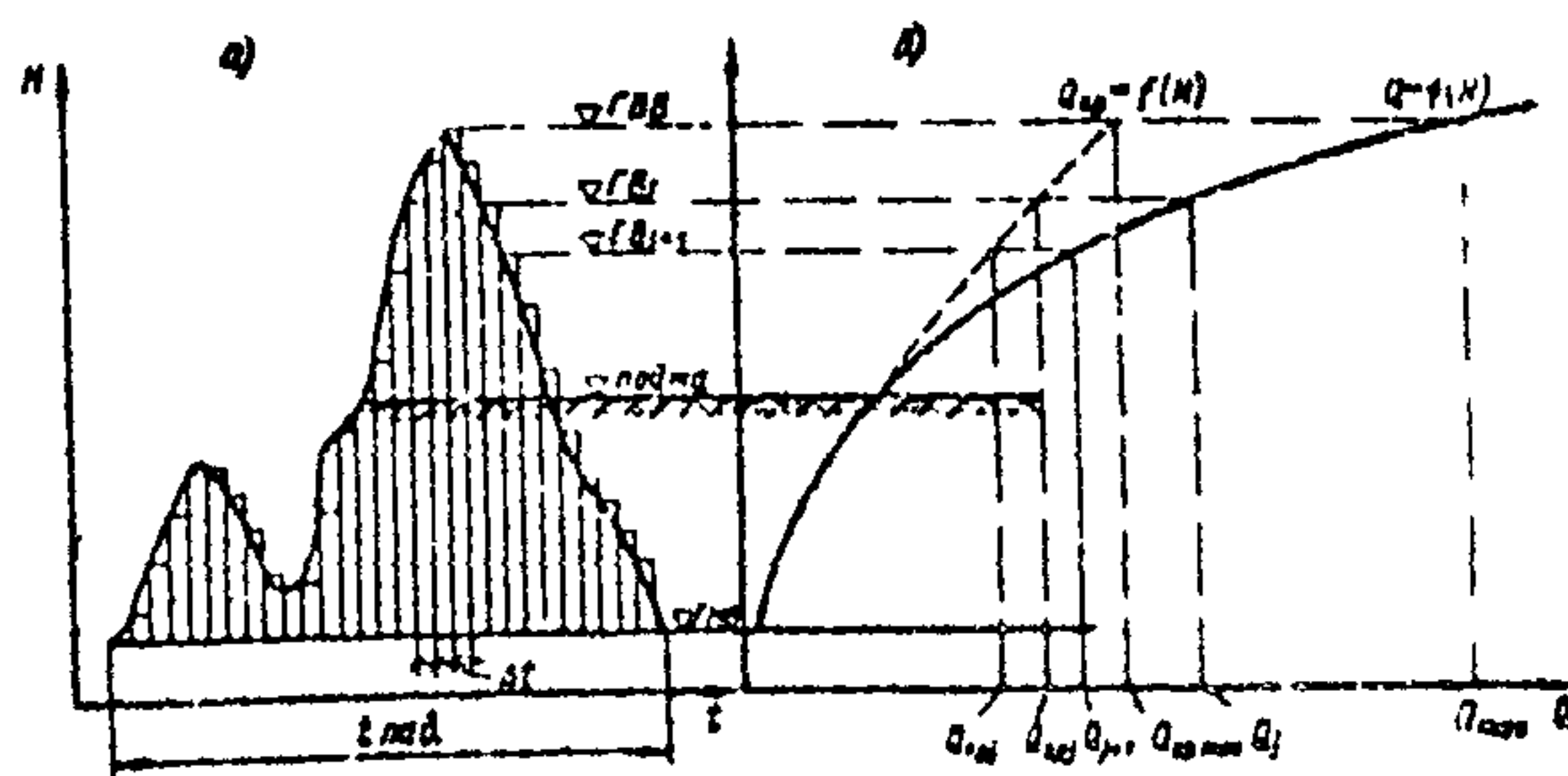


Рис. 2.1. Основные гидрометрические кривые:
а) водомерный график паводка;
б) кривые расходов

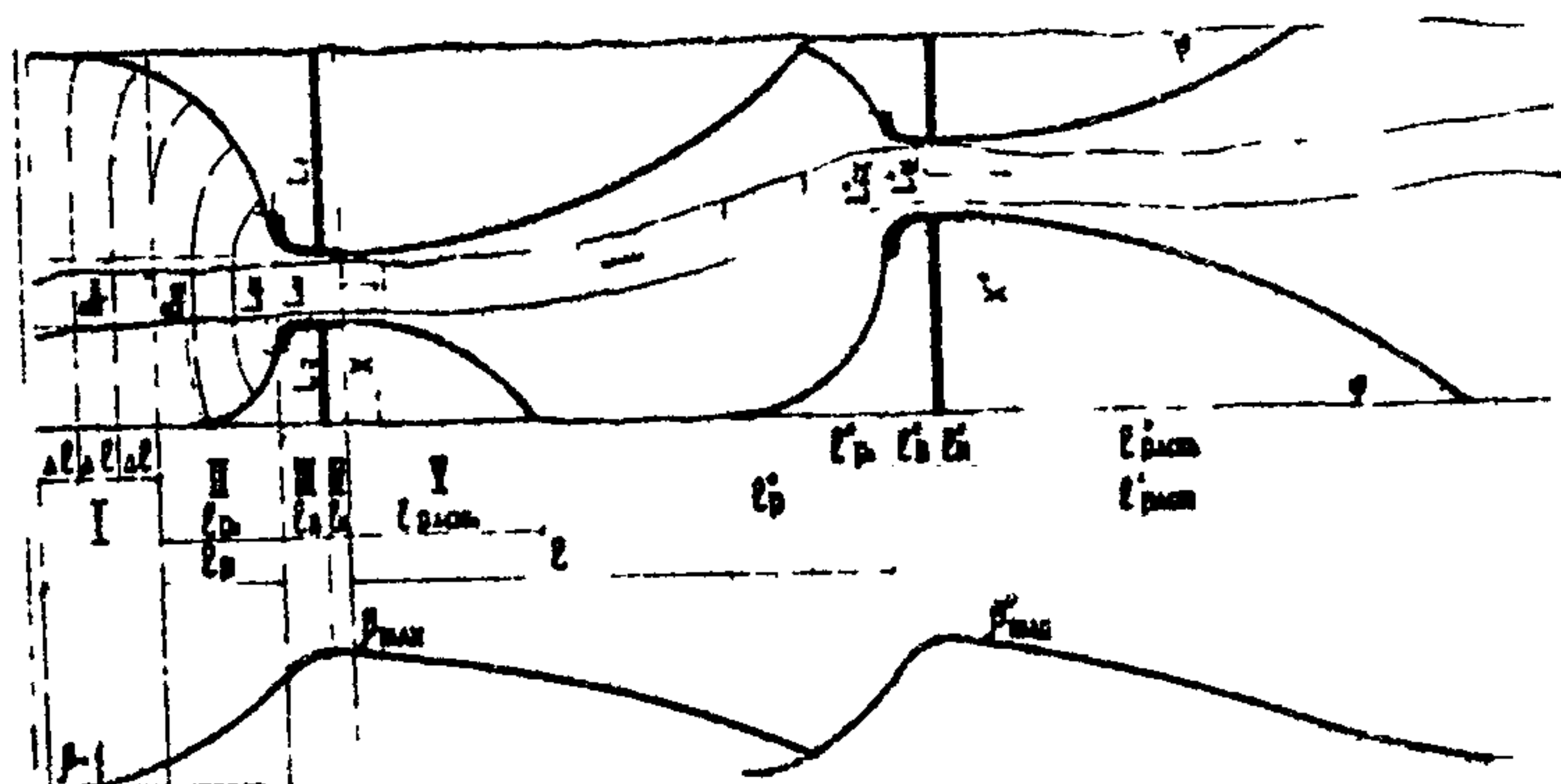


Рис.2.2. Схема зон влияния мостовых переходов

возможных размывов существующих и проектируемых переходов коммуникаций (нефтепроводов, газопроводов, кабельных переходов и т.д.); прогноза условий судоходства; назначения расчетных судоходных уровней (РСУ) с учетом допустимых для судоходства скоростей течения;

- оценка влияния выработок грунта в руслах рек на работу мостовых переходов и других гидротехнических сооружений;
- учет взаимодействия нескольких мостовых переходов при расчетах русловых деформаций и кривых свободной поверхности;
- расчет мостовых переходов в нижних бьефах плотин;
- расчет мостовых переходов в подпоре;
- построение кривых свободной поверхности потока от плотин и прогноз заилиения водохранилищ;
- расчет мостовых переходов с переливаемыми подходами;
- расчет мостовых переходов в условиях регressiveвой эрозии.

С использованием программы "Гидрам-3" можно выполнять расчеты перехода с несколькими мостами на общем разливе по методу, разработанному Л.А.Пустовой [9].

В основу этого метода положено равенство общих подпоров перед всеми мостами, то есть подпоров, соответствующих общей подпорной поверхности, ниже которой происходит разделение общего расхода между мостами. Определение общих подпоров производится взаимным решением русловых деформаций и деформаций свободной поверхности воды.

Расчет ведется графо-аналитическим методом в следующем порядке:

- задаются величинами отверстий мостов;
- задаются тремя произвольными положениями водоразделительной линии между мостами;

- положение нулевого (расчетного) створа выбирается заведомо выше створа разделения потока на самостоятельные, идущие в разные отверстия, т.е. на общей подгорной поверхности;
- при каждом заданном положении водоразделительной линии выполняются отдельные расчеты на ЭВМ по программе "Гидра-3", для которого из двух мостов и соответствующим им потоков по схеме и тому же реальному расчетному паводку (для определения подпора) и по серии паводков (для определения максимального подпора, идущего под пойменный мост, и соответствующего разлива);
- строятся графики изменения общих подпоров для обоих мостов в выбранном расчетном створе в зависимости от положения водоразделительной линии;
- пересечение двух кривых определяет единственное значение расхода, идущего под основной и дополнительный мост, и соответствующее ему положение водоразделительной линии.

Для исключения графо-аналитического метода Л.А.Пустовой [9] к программе "Гидрам-3" разработан блок автоматического подбора водоразделительной линии в ходе паводка. При расчете по серии паводков изменение водоразделительной линии учитывается автоматически, а ЭВМ выводит на печать кривые свободной поверхности $\Delta Z = f(l)$ и профили размытого дна $H = f(l)$ для основного и дополнительного моста.

Расчет может выполняться и при устройстве на общем разливе более двух мостов.

Программа "Рур-Г" позволяет решать следующие задачи:

- определение координат зон самоуширения подмостовых русел;

- определение :ординат наибольшего искусственного уширения;
- расчет величины самоуширения, а также искусственного уширения подмостовых русел при геологическом ограничении максимального размера;
- определение рациональных величин отверстий мостов с учетом уширения подмостовых русел.

С помощью гидравлического моделирования на ЭВМ по программам "Гидран-3" и "Рур-Г" Г.А.Федотовым получены формулы для упрощенного расчета уширения подмостового рула, общего заложения и характеристик подпоров [4,5,7] и Л.А.Пустовой - для определения общего подпора на переходах с несколькими шагами [9], на основании которых предлагаются методы расчета, алгоритмы в п.п.3,4,6 и 7.

3. РАСЧЕТ УШИРЕНИЙ РУСЛА ПОД МОСТОМ И НАЗНАЧЕНИЕ ОТВЕРСТИЙ МОСТОВ

При затоплении пойменных участков в верхнем бьефе мостового перехода русловой расход на участке влияния перехода оказывается увеличенным по сравнению с бытовыми условиями за счет слива воды с пойм, что может привести к самоуширению русла на этом участке [5,6].

Искусственное уширение русла под мостом (резка) может быть устойчивой (не заиливаться во время эксплуатации), если величина срезки не превышает размеры возможного самоуширения русла. При необходимости получения дополнительных объемов грунта размеры срезки под мостом в некоторых случаях могут быть увеличены, но при расчете общего размыва величину срезки необходимо принимать равной расчетной ширине русла. Так как срезка является искусственным уширением русла (фронта переноса наносов), то ее надо устраивать за счет удаления связных грунтов пойменного наилка, но не за счет русловых элементов – побочней, осередков и т.д. Можно устраивать как одностороннюю, так и двухстороннюю срезку. При этом уширение между соответствующими поймами надо распределять в общем случае пропорционально сливу воды с каждой из них, с направкой на возможные природные плановые деформации русла. На меандрирующих реках срезку можно устраивать как на вогнутых, так и выпуклых берегах. Форма уширения русла в плане должна быть эллиптической с плавным сопряжением его с неуширенным руслом в верхнем и нижнем бьефах для плавного пропуска воды и наносов (см.рис.3.1). Общая длина срезки- не меньше четырех-шести ее ширин.

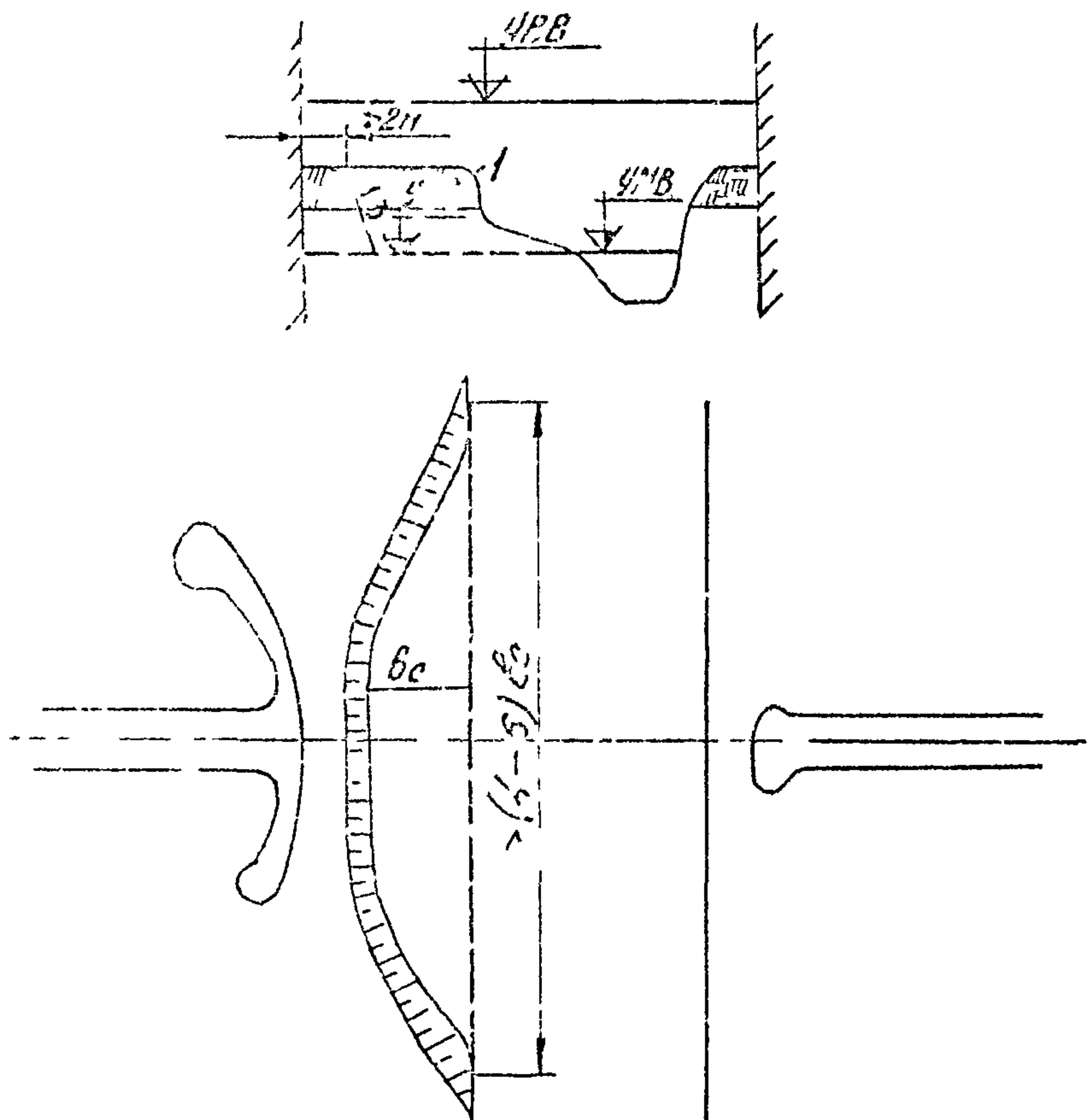


Рис.3.1 Очертание фрезки в поперечном
сечении в плане.
1 - наименование поимы.

Не рекомендуется устраивать срезку, повторяющую очертание струенаправляющей дамбы и доходящую до головы этой дамбы (рекомендации НИМП-72), так как в этом случае не обеспечивается плавность подвода к мосту руслового потока и наносов ... сложается одно из наиболее уязвимых мест перехода - между струенаправляющих дамб.

Возможность уширения русла под мостом определяется табл. 3.1 или по рис. 3.2. Если при данном β $P_{n\%}$ больше знач., указанных в таблице, уширение возможно.

Таблица 3.1.

β	1,7	2,0	2,5	3,0	3,5	4,0	4,5
$P_{n\%}$	95	75	50	33	21	13	6

где: β - степень стеснения потока подходами,

$\beta = \frac{Q}{Q_{p6}}$ (в том случае, если пойменная часть сегмента пропускает значительную часть расхода, что бывает сравнительно редко,

$$\beta = \frac{Q}{Q_{p6} + q_n(L_m - B_{p6})} \quad \text{и расчет повторяется после}$$

назначения отверстия моста);

$P_{n\%}$ - вероятность затопления пойм, определяемая по графику обеспеченности уровней по средней отметке поймы.

Если уширение возможно, то определяется ширина русла под мостом:

$$B_{p6} = B_{p6} \left[(\beta^{0,93} - 1) k_n k_{p\%} + 1 \right], \quad (3.1),$$

где: $k_{p\%}$ - коэффициент, учитывающий вероятность затопления пойм, определяемый по известным β и $P_{n\%}$ по графику на рис. 3.2;

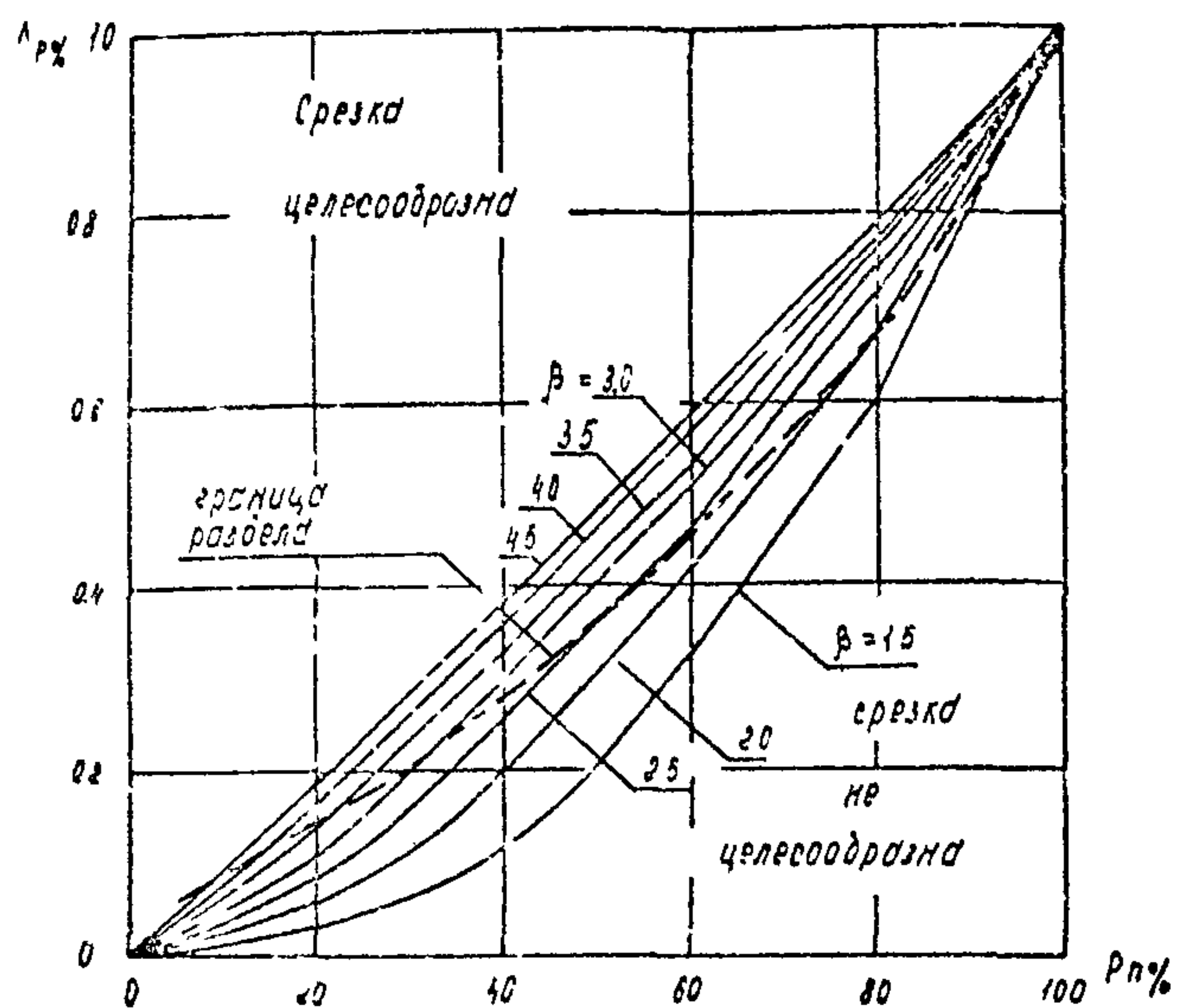


Рис 3.2 График для определения целесообразности срезки и коэффициента $\lambda_p\%$.

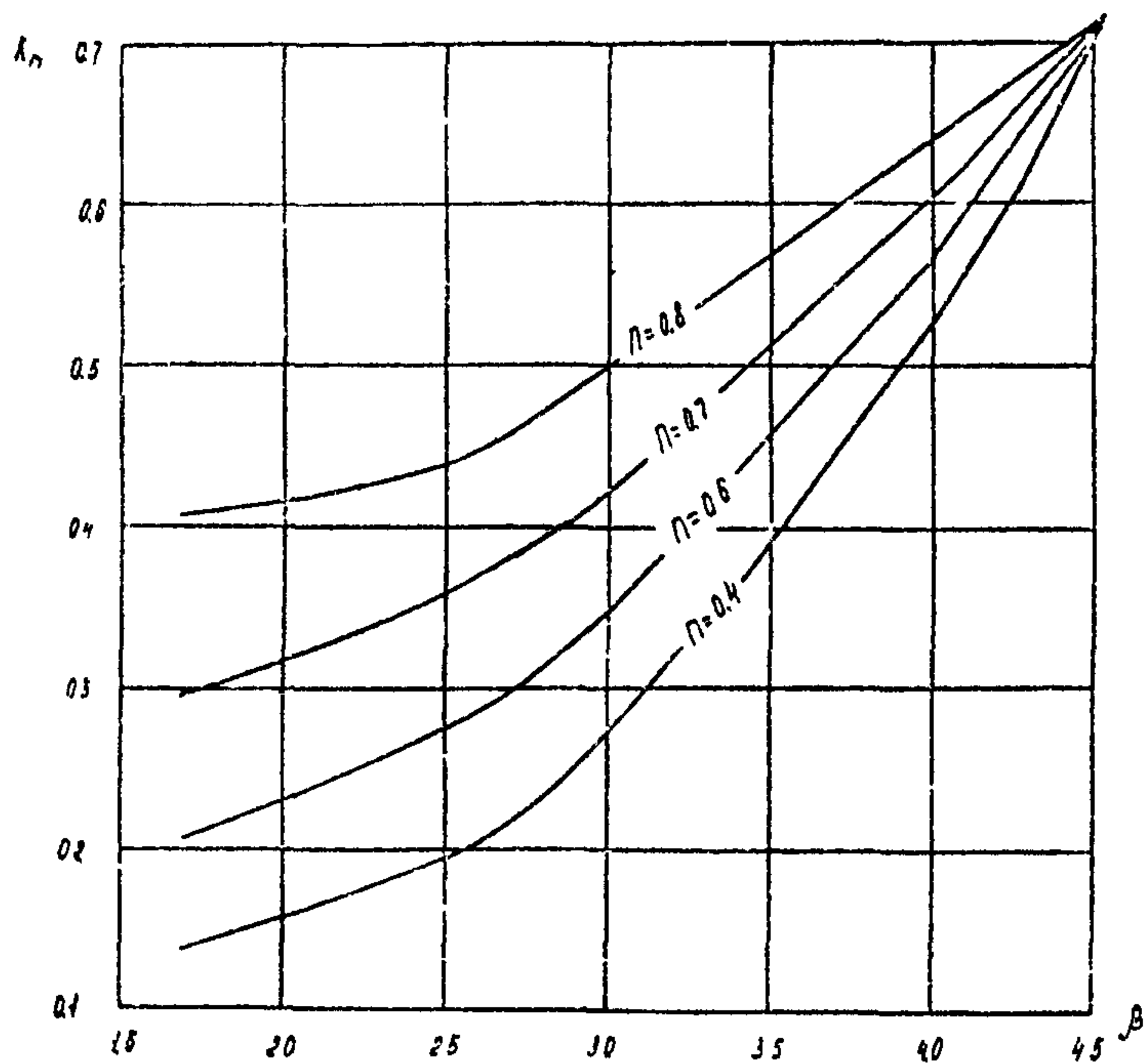


Рис 3.3 График для определения коэффициента λ_p

k_p - коэффициент, учитывающий путь расчетного паводка, определяемый по известным β и Π по графику на рис.3.3;

$\Pi = \frac{h_{\text{рас}}}{h_{\text{рас(пол)}}}$ - полнота паводка (при отсутствии данных приближенно можно принимать $\Pi \approx 0,7$);

$\bar{h}_{\text{ср}}, h_{\text{макс}}$ соответственно средняя и максимальная высота паводка над средней отметкой поймы, определяемые по водомерному графику расчетного паводка (величина $\bar{h}_{\text{ср}}$ определяется как сумма Π и числа ординат, деленная на Π).

Значения коэффициентов $K_{p\%}$ и K_{Π} могут быть определены по формулам:

$$K_{p\%} = \left(\frac{P_{1\%}}{100} \right)^{\left(0,5 + \frac{2,5}{\beta} \right)}$$

$$K_{\Pi} = \left(\frac{7,7}{\beta} - 1 \right) \left(-\frac{\Pi}{2} \right)^{(3,8 - 0,85\beta)}, \quad \text{при } \beta < 4,5 ;$$

$$K_{\Pi} = 0,7 \quad \text{при } \beta \geq 4,5 ;$$

Ширина расчетной срезки принимается равной $B_{\text{pm}} - B_{\text{rb}}$.

Отверстия моста рекомендуется назначать не меньше величины, определяемой по формуле:

$$L_m \geq \delta B_{\text{pm}} + \sum b_{\text{оп}} + \sum b_{\text{укр}} + 2m h_{\text{пк}}, \text{ м} \quad (3.2),$$

где: $\delta = 1,1$ - гарантийный запас;

$\sum b_{\text{оп}}$ - суммарная ширина промежуточных опор, м;

$\sum b_{\text{укр}}$ - ширина укреплений подошв конусов, м;

m - коэффициент заложения откоса конусов;

$h_{\text{пк}}$ - глубина воды у подошвы конусов при РУВВ, м.:

Так как пойменная часть моста обычно пропускает незначительный погонный расход, то увеличение отверстия моста, полученного по формуле (3.2), как правило, не приводит к существенно му снижению общего размыва и скоростей под мостом и подпоров.

4. РАСЧЕТ ОПОРНОГО РАЗМЫВА

По способу определения расчетного для опор общего размыва все мостовые переходы могут быть разделены на четыре группы [5,4,11].

Первая группа мостовых переходов характеризуется потенциальной размывающей способностью расчетного паводка, требуемой для достижения нижнего предела размыва, наибольшего размыва, гарантированного длительным воздействием расчетного паводка постоянной высоты.

Второй группе относятся мостовые переходы, характеризующиеся способностью, вызывающей расчетный размыв, равный размыву от прохода одного расчетного паводка по неразмытому дну (верхний предел размыва).

В третьей группе относятся переходы, характеризующиеся размывающей способностью, вызывающей расчетный размыв, равный размыву от воздействия многих проходящих один за другим расчетных паводков (гипотетический предел размыва).

Четвертой группе относятся переходы, характеризующиеся размывающей способностью слишком малой для реализации гипотетического размыва. Для этой группы расчетный общий размыв занимает промежуточное положение между верхним и гипотетическим пределами и должен определяться по длительной натурной серии паводков с пропуском расчетного в конце одного из наиболее опасных многоводных периодов. В этом случае с некоторым запасом расчетный размыв может быть определен по гипотетическому пределу.

Группа мостового перехода определяется по табл. 4.1 или по графикам на рис.4.1 по отношению предположительности расчетного паводка ($t_{\text{пав}}$) к времени предельного размыва (t_n).

Таблица 4.1

Группа мостового перехода		Признаки группы переходов	
		!	
I	!	$\frac{t_{\text{пав}}}{t_n} \geq \frac{1}{\Pi_{\text{сп}}}$	$h_{\text{РМ(в)}} \geq h_{\text{РМ(и)}}$
II	!	$1 \leq \frac{t_{\text{пав}}}{t_n} < \frac{1}{\Pi_{\text{сп}}}$	$h_{\text{РМ(р)}} \leq h_{\text{РМ(в)}} < h_{\text{РМ(и)}}$
III	!	$0,15 \leq \frac{t_{\text{пав}}}{t_n} < 1$	$0,35h_{\text{РМ(р)}} \leq h_{\text{РМ(в)}} < h_{\text{РМ(и)}}$
IV	!	$\frac{t_{\text{пав}}}{t_n} < 0,15$	$h_{\text{РМ(в)}} < 0,85h_{\text{РМ(р)}}$

Время продолжительности паводка $t_{\text{пав}}$ определяется по водомерному графику расчетного паводка $H=f(t)$ при $H=H_n$.

Время предельного размыва определяется по формуле:

$$t_n = \frac{l_{\text{сж}} h_{\text{рв}} (k_{\phi\beta} + 2)}{172800 q_s}, \text{ сут.} \quad (4.1)$$

Длина зоны сжатия потока под мостом ($l_{\text{сж}}$) определяется по формуле:

$$l_{\text{сж}} = \frac{B_0 - l_m}{1 + \frac{l_{m\pi}}{l_{b\pi}}} \quad (4.2),$$

где: $l_{m\pi}$ и $l_{b\pi}$ - соответственно длина малой и большой поймы в м.

Бытовой погонный расход наносов (q_s) определяется по формуле: $q_s = \left(\frac{A_g}{h_{\text{рв}}} + A_b \right) (U_{\text{рв}} - U_{\text{нер}}) U_{\text{рв}}^2$, (4.3) ,

где: $U_{\text{нер}}$ - неразмывающая скорость для грунтов русла, определяемая по рис.4.2;

A_g и A_b - характеристики соответственно дески и взвешенных наносов, определяемые по d_{cr} по рис. 4.3.

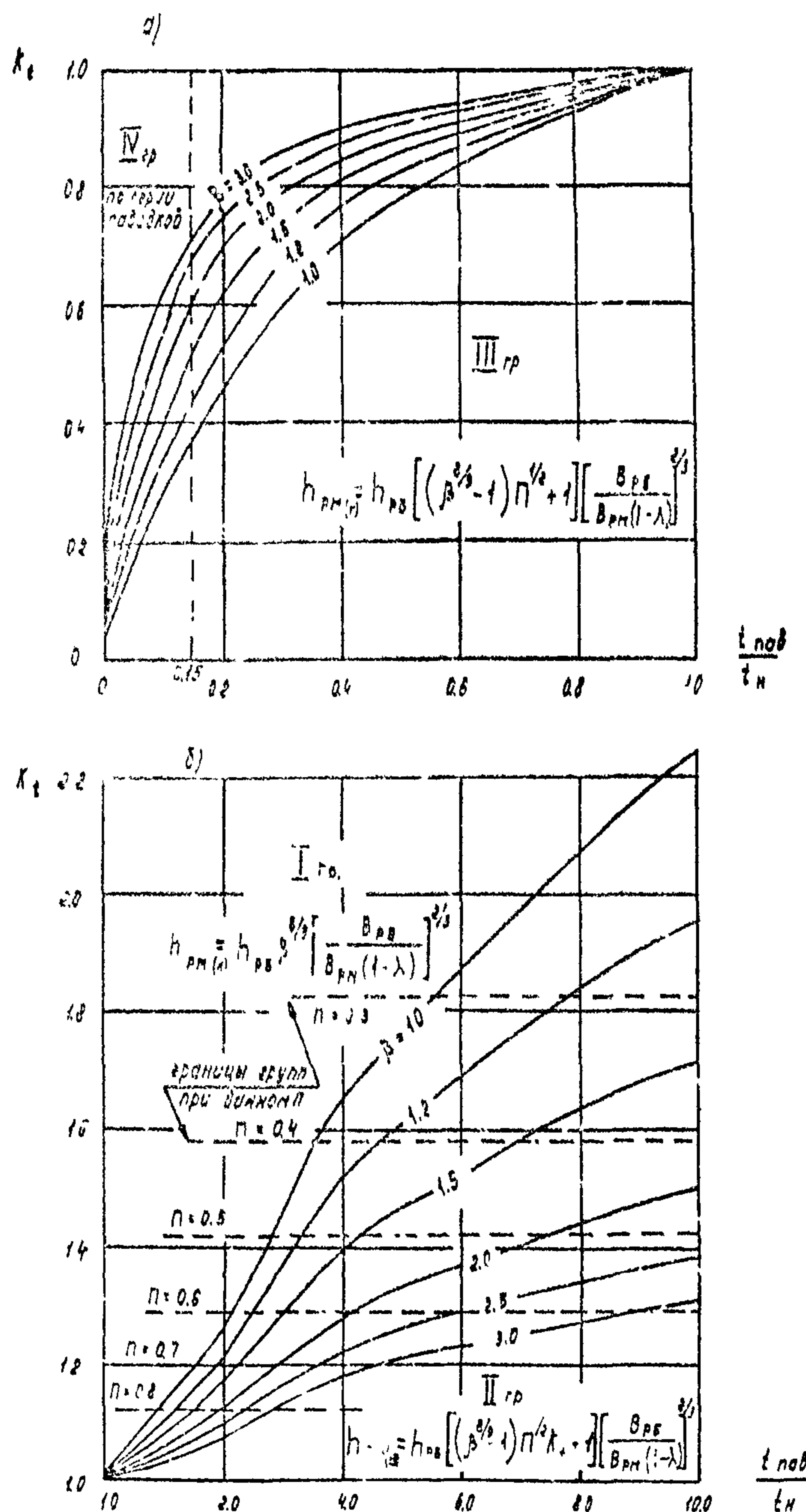


Рис 4.1. Графики для определения группы местового перехода $u K_t$:

а) при $t_{nob}/t_n \leq 10$; б) при $t_{nob}/t_n \geq 1$

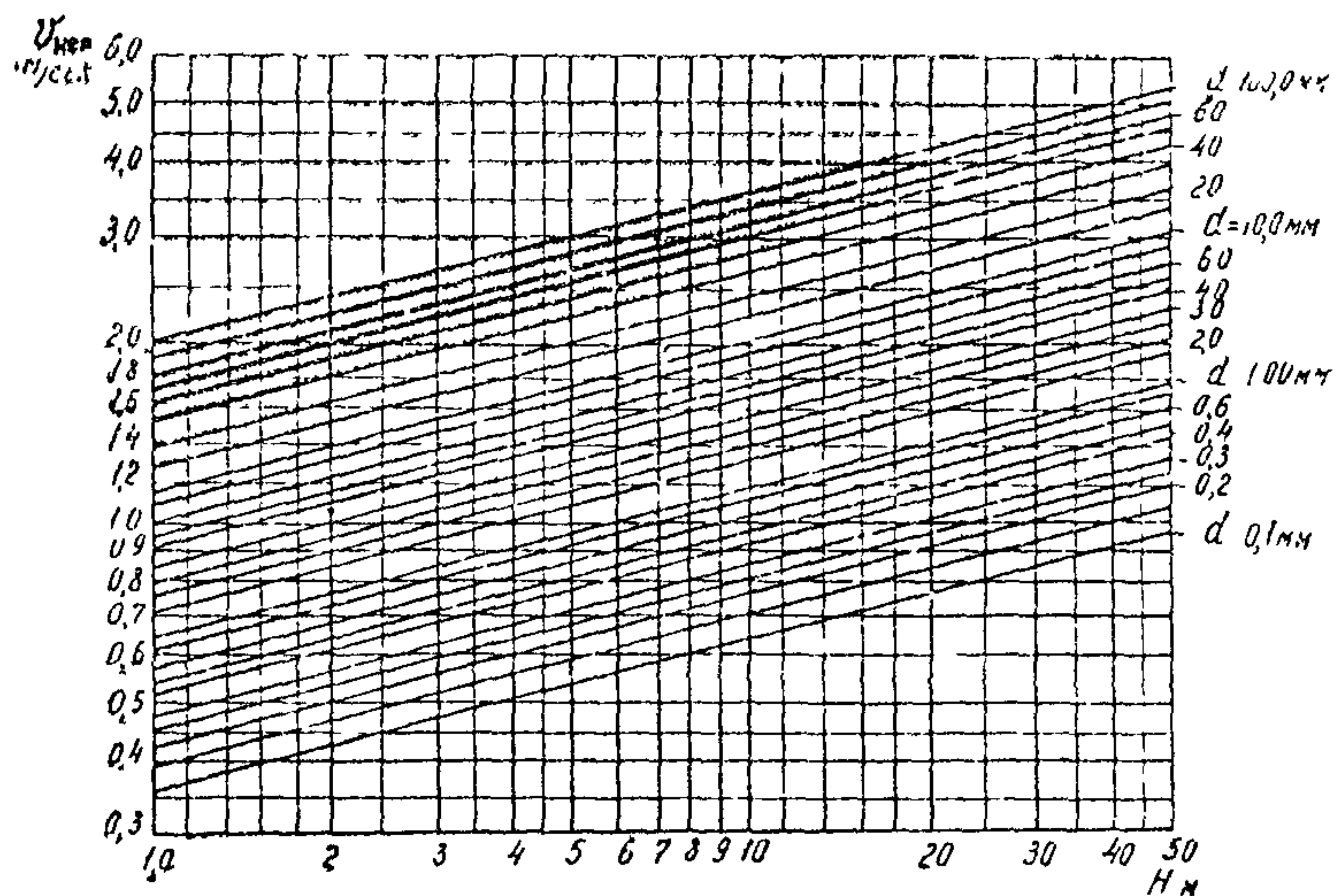
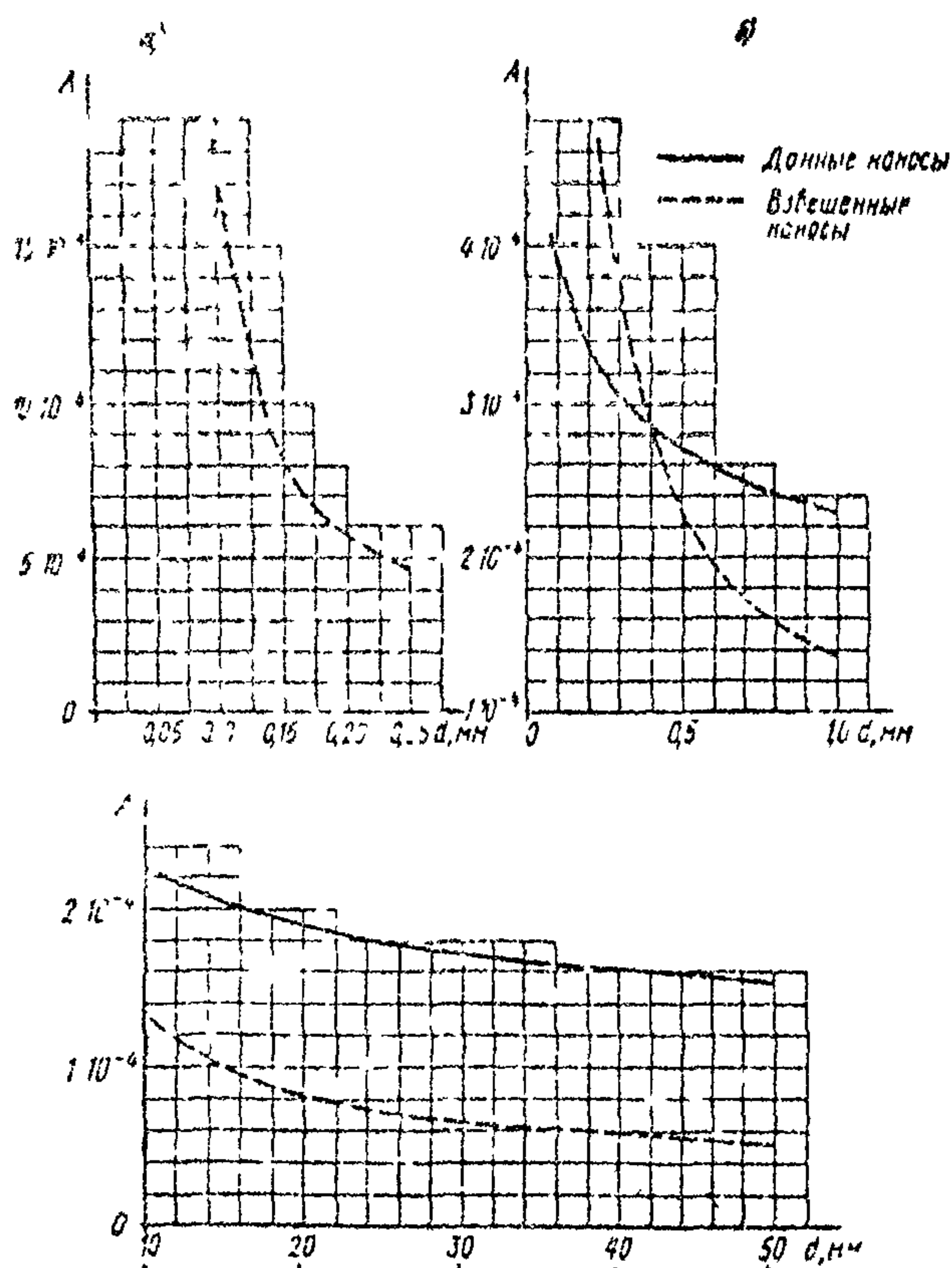


Рис.4.2. График для определения нераэмунивающей скорости.



Гр. 4.3. Графики для определения коэффициентов A_1 и A_2 : а' мелкие, б/средние и в/коушиные наносы.

23.

Коэффициент, учитывающий форму воронки размыва K_{ϕ} , определяется по формуле:

$$K_{\phi} = 0,1 \left(-\frac{l_{\phi}}{l_{\phi A}} - 0,5 \right)^2 + 0,8 \quad (4.4)$$

Относительная длина верховой струенаправляющей дамбы (χ) определяется по формуле:

$$\chi = \frac{l_{\phi}}{l_{\phi A}} \quad (4.5),$$

где: $l_{\phi A}$ - проекция наибольшей верховой дамбы на ось потока (расчет струенаправляющих дамб рекомендуется производить согласно § 64 НМЛ-72).

Расчетный общий размыв определяется по формулам, соответствующим группе мостового перехода, приведенным на рис. 4.1.

(где $\lambda = \frac{\sum l_{\phi}}{L_h}$ - относительное сечение подмостового отверстия опорами).

Значение коэффициента K_t , учитывающего изгибы длины паводка, может быть определено по следующим формулам:

$$K_t = (1 + \frac{0,53}{\beta}) \left(\frac{t_{\text{пав}}}{t_h} \right)^{0,75}, \text{ при } K_t < 0,60;$$

$$K_t = \left(\frac{t_{\text{пав}}}{t_h} \right)^{0,35}, \text{ при } K_t \geq 0,60.$$

Глубина общего размыва в русле выше моста при известном расчетном размыве в русле под мостом определяется по формуле:

$$\Delta h_{pk} = \Delta h_{pm} \left(1 - \frac{l_{\phi}}{l_{\phi A}} \right)^{3/2}, \quad (4.6),$$

где: l_{ϕ} - расстояние от оси перехода коммуникации до входа в зону, охватываемую струенаправляющими дамбами;

Δh_{pk} - средний смык грунта в русле на расстоянии ℓ_3 выше моста;

Δh_{pm} - расчетный смык грунта в русле под мостом, определенный без учета влияния срезки на величину размыва (поскольку последняя изменяет величину размыва лишь в пределах искусственно уширенного русла).

Если переход коммуникации расположен в пределах искусственного уширения русла, то величина смыва грунта определяется с учетом фактической ширине русла в створе перехода коммуникации:

$$\Delta h_{pk} = (\Delta h_{pk} + h_p) \left(\frac{B_{pk}}{B_{pk}} \right)^{2/3} - h_{pb} \quad (4.7),$$

где h_{pk} - средний смыв грунта в русле по оси перехода коммуникации с учетом срезки;

B_{pk} - ширина уширенного русла в створе перехода коммуникации.

Влияние мостового перехода практически распространяется на расстоянии порядка трех длин растекания потока за мостом. Смыв грунта в русле ниже моста при известном расчетном размыве в русле под мостом рекомендуется определять по зависимости

$$\Delta h_{pk} = \Delta h_{pm} \left(1 - \frac{\ell_n}{3\ell_{pst}} \right)^6 \quad (4.8),$$

где: Δh_{pk} - средний смыв в русле в створе коммуникации;

Δh_{pm} - средний смыв грунта в русле под мостом, определенный без учета влияния на размыв искусственного уширения русла (срезки);

ℓ_{pst} - длина зоны растекания потока за мостом; $\ell_{pst} \approx 2\ell_{cjk}$;

ℓ_n - расстояние от перехода коммуникации до низовых струенагравляющих дамб.

Если переход коммуникации расположен в пределах искусственного уширения русла ниже моста, то величина смыва грунта тоже определяется по формуле (4.7).

5. РАСЧЕТ МЕСТНОГО РАЗМЫВА

В настоящее время расчеты местного размыва выполняются согласно ЕСН 62-69 [13]. Ввиду того, что по указанному методу расчета имелись неоднократные замечания о завышении глубин размыва, рекомендуется для сравнительных расчетов применять метод, разработанный в Союздорнии к.т.н. М.М.Журавлевым [12]. Основные расчетные формулы указанного метода получены путем обработки натурных данных о местных размывах у мостовых опор. Ниже излагается метод расчета Союздорник для несвязных грунтов.

Наибольшая глубина местного размыва у опоры определяется по формуле:

а) при поступлении наносов в воронку размыва, при $U > U_{\text{нр}}$:

$$h = I, I \cdot \sqrt{8H} \left(\frac{U}{U_b} \right)^n K_F K_a \quad (\text{м}) \quad (5.1)$$

б) при отсутствии поступления наносов в воронку размыва, при $U < U_{\text{нр}}$:

$$h = I, I \cdot 8^{0,6} H^{0,4} \left(\frac{U}{U_b} \right)^{0,67} K_F K_a \quad (\text{м}) \quad (5.2),$$

где: b - расчетная ширина опоры, в м;

H - глубина потока перед опорой, м;

U - средняя скорость потока на вертикале перед опорой, м/сек;

U_b - средняя взмучивающая скорость турбулентного потока перед опорой, определяется по графику на рис. 5.1, м/сек;

$\frac{U}{U_b} \left(\frac{H}{d} \right)^{0,67}$ - показатель степени: при $\frac{U}{U_b} \left(\frac{H}{d} \right)^{0,67} > I$, $n = I$, а при $\frac{U}{U_b} \left(\frac{H}{d} \right)^{0,67} \leq I$, $n = 0,67$;

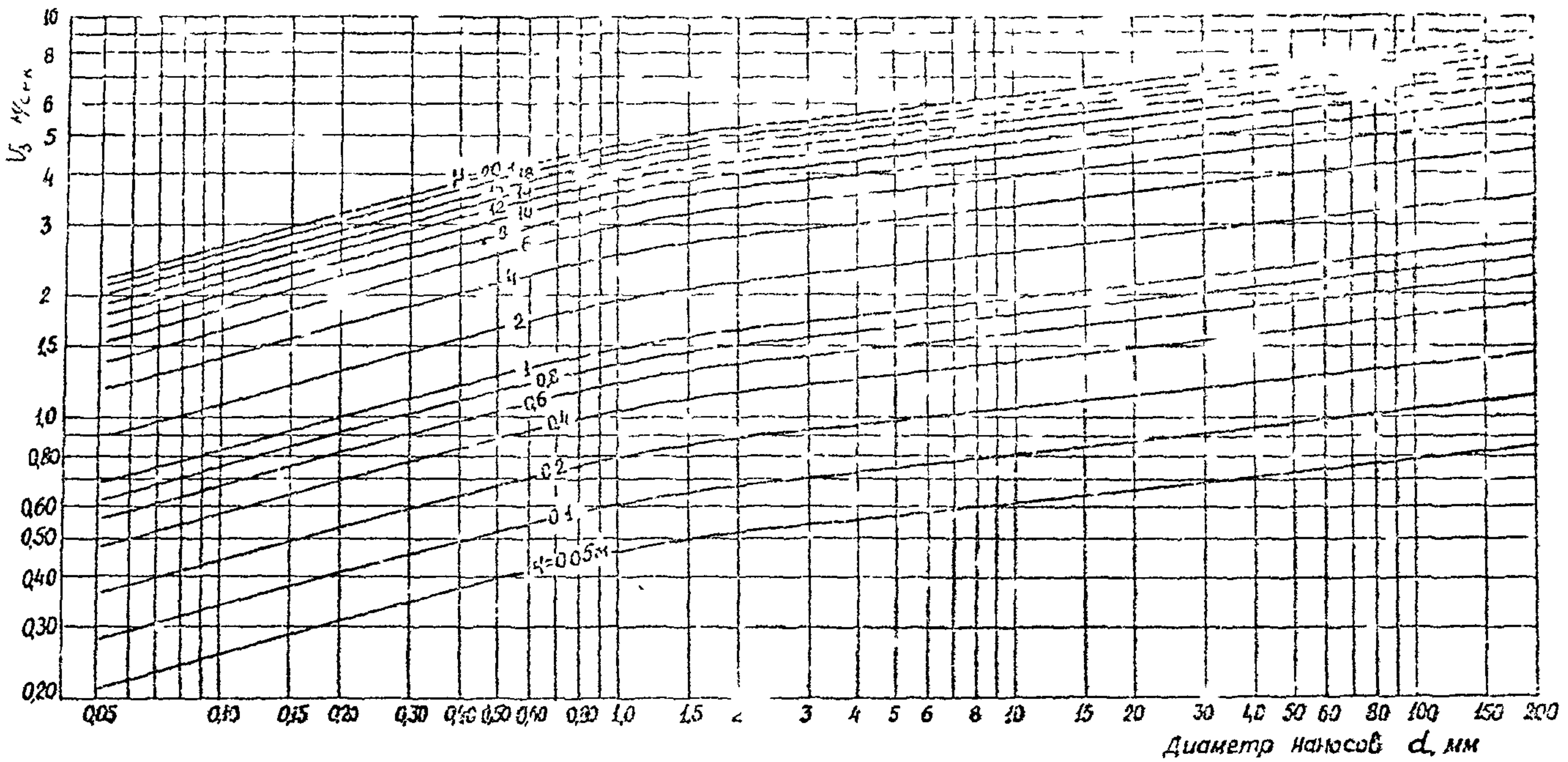
K_F - коэффициент формы опоры;

K_a - коэффициент косины потока;

$U_{\text{нр}}$ - размывающая скорость, определяемая по графику на рис. 4.2 ; м/сек.

d - средний диаметр грунта в формулу подставляется в м;

Значения K_F и K_a определяются согласно ЕСН 62-69.



6. РАСЧЕТ ПОДПОРА

При проектировании мостовых переходов возникает необходимость в определении величин характерных подпоров: начального ΔZ_0 - в начале сжатия потока (при расчете дополнительных отверстий, построения свободной поверхности и т.д.); полного ΔZ - в створе с максимумом подпора; подмостового ΔZ_m - в створе самого моста (для расчета минимальных отметок бровок струенаправляющих дамб, отметок верха укреплений и т.д.); подпора у насыпи ΔZ_n - для расчета минимальных отметок бровок земляного полотна на подходах (см.рис.6.1) [5,7].

На форму кривой свободной поверхности и величины характерных подпоров на мостовых переходах значительное влияние оказывают русловые деформации. Развитие общего размыва у мостовых переходов приводит к существенному снижению величин начального и полного подпоров, а также подпора у насыпи. С ростом вала отложений ниже моста происходит резкое увеличение подмостового подпора, который затем уменьшается при размыве вала отложением.

Наиболее опасной (расчетной) схемой для вычисления характерных подпоров является пик первого расчетного чабодка с учетом русловых деформаций, произошедших на ветви его подъема. При этом все характерные подпоры имеют наибольшие возможные значения.

Начальный подпор определяется методом последовательных приближений по формуле:

$$\Delta Z_0 = A_I \left(-\frac{A_2^2}{\Sigma} - I \right), \quad (6.1)$$

где: $A_I = \frac{3}{2} l_{ck} J_s (I + \chi)$ (6.2)

A_2 - определяется по графику рис.6.2 по известным β и R'_w ;

J_s - бытовой угол сечения поверхности;

Σ - относительный подпор.

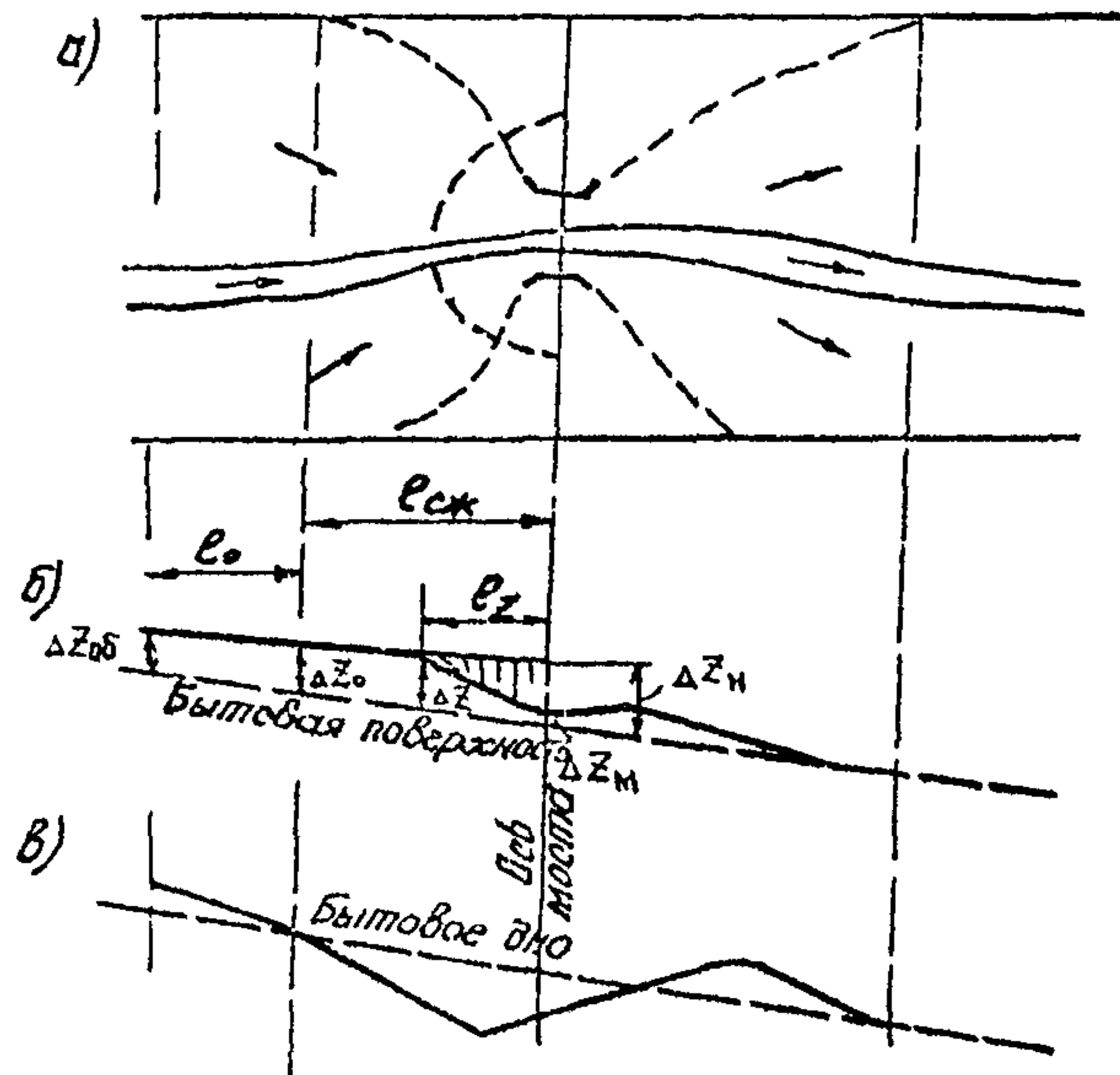


Рис.Б.1. Схема к определению характерных подгоров на мостовом переходе:

- План перехода;
- Кривая свободной поверхности;
- Профиль размытого дна на пике паводка;

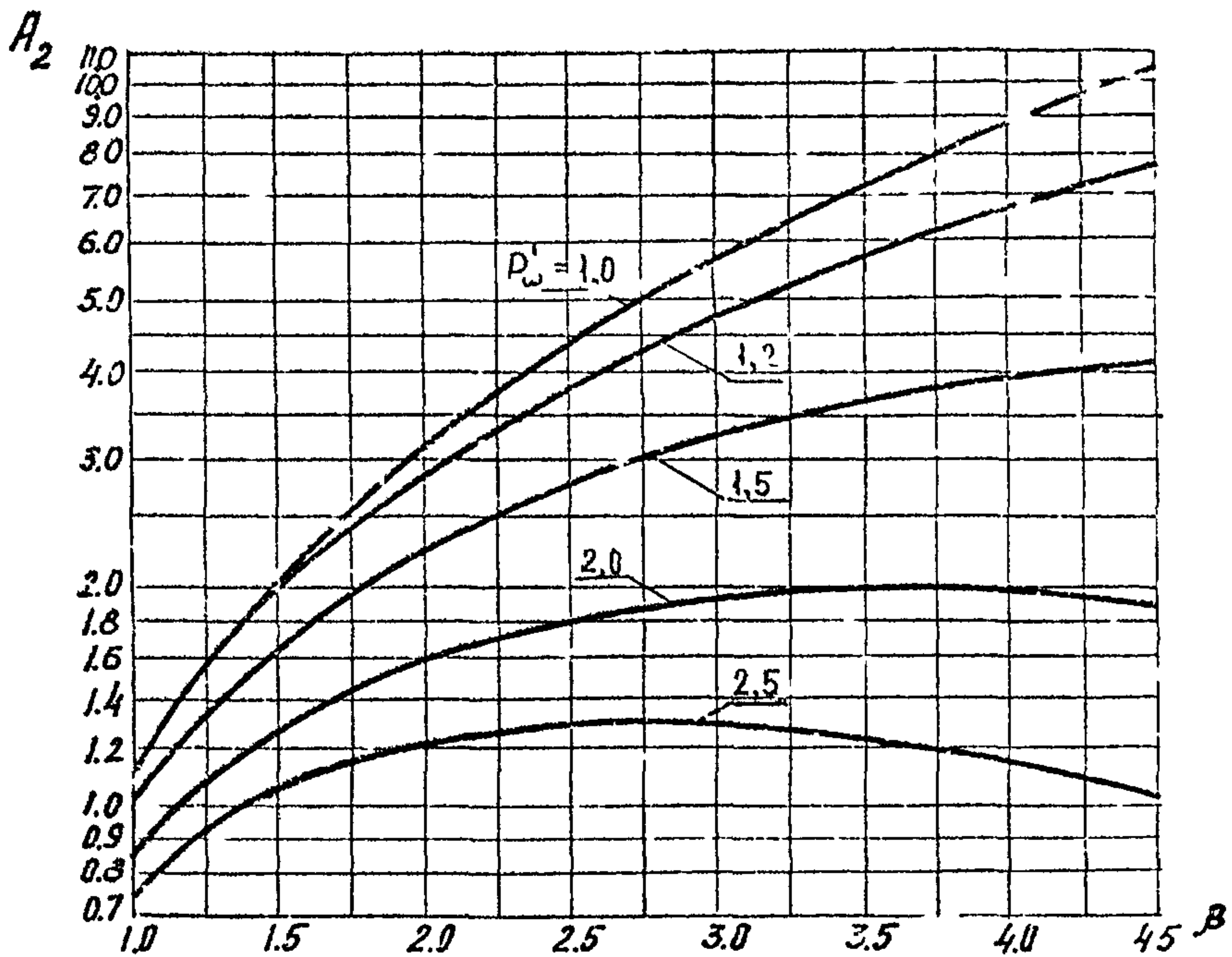


Рис.6.2.График для определения параметра A_2

Параметр λ_2 может быть определен по формулам:

$$\lambda_2 = \frac{1,1\beta^2}{\sqrt{\beta P_\omega^{1.1}}}, \text{ при } P_\omega \leq 1,2;$$

$$\lambda_2 = \frac{1,3\beta^2}{\sqrt{\beta P_\omega^{1.2\beta}}}, \text{ при } P_\omega > 1,2.$$

Коэффициент размыва под мостом по площади P_ω' определяется на шаге первого расчетного паводка

$$P_\omega' = \frac{\omega_{pp}}{\omega_{sp}} = \frac{h_{pm}' B_{pm} + h_{pb}(L_m - B_{pm})}{h_{pb} B_{pb} + h_{pb}(L_m - B_{pb})}, \quad (6.3)$$

где: h_{pm}' - средняя глубина размыва в русле принимается равной:

$$h_{pm}' = h_{pb} + 0,7(h_{pm(b)} - h_{pb}). \quad (6.4)$$

Дальнейший расчет начального подпора производится методом последовательных приближений в следующем порядке:

а) принимается $\Sigma_1 = I$ и по формуле 6.1 вычисляется ΔZ_{o1} ;

б) при $\Delta Z_{o2} = \frac{0 + \Delta Z_{o1}}{2}$ и $\Sigma_2 = \frac{h_s + \Delta Z_{o2}}{h_s}$ вычисляется ΔZ_{o2} ;

где h_s - средняя бытовая глубина всего потока определяется по формуле

$$h_s = \frac{h_{pb} B_{pb} + h_{pb}(B_o - B_{pb})}{B_o} \quad (6.5)$$

в) при $\Delta Z_{o3} = \frac{\Delta Z_{o2} + \Delta Z_{o1}}{2}$ и $\Sigma_3 = \frac{h_s + \Delta Z_{o3}}{h_s}$ вычисляется ΔZ_{o3} .

Обычно после выполнения трех вычислений получаются олизкие значения ΔZ_{o3} и ΔZ_{o4} ($< 10\%$), поэтому принимается $\Delta Z_o = \frac{\Delta Z_{o3} + \Delta Z_{o4}}{2}$.

Полный подпор перед мостом принимается при $J_s \leq 0,0001$, $\Delta Z = \Delta Z_o$ при $J_s > 0,0001$

$$\Delta Z = \Delta Z_0 + 0,25 \beta J_s \left(\frac{l_{\text{ок}} - l_{\text{ст}}}{{l}_{\text{ок}}} \right)^2 (l_{\text{ок}} - l_s) \quad (6.6)$$

где : l_s - расстояние от моста до створа полного подпора;

$$l_s = \frac{\beta / 3}{9 - I} l_{\text{ок}}, \quad (6.7)$$

$$\Sigma = \frac{h_s + \Delta Z_0}{h_s}.$$

Максимальный подпор у насыпи

$$\Delta Z_1 = \Delta Z + J_s l. \quad (6.8)$$

Подмостовой подпор определяется методом последовательных приближений по формуле:

$$\Delta Z_H = A_3 \left(\frac{A_5}{\sum M} - I \right) + A_4 \quad (6.9)$$

$$A_3 = \frac{I - l_{\text{ок}} J_s (2 + X)}{2} \quad (6.10)$$

$$A_4 = \frac{\alpha_m V_m^2 - \alpha_b V_b^2}{2 g} \quad (6.11)$$

где: V_b и V_m - соответственно бытовая средняя скорость всего потока и средняя скорость под мостом с учетом размыза;

α_m и α_b - коэффициенты Кориолиса в подмостовой сечении и бытовых условиях;

$$\alpha_b = \frac{V_p^3 \omega_p + V_r \sum \omega_n}{V_b^3 (\omega_p + \sum \omega_n)} + 0,2 \quad (6.12)$$

$$\alpha_m = (\alpha_b - I, 2) \frac{B_m - B_{pb}}{B_o - B_{pb}} + I, 2 \quad (6.13)$$

V_p и V_r - скорости на русло и пойменной частях живого сечения;

V - средняя скорость по сечению;

ω_p и $\sum \omega_n$ - площади русло и пойменных частей живого сечения.

Параметр A_5 определяется по графику на рис. 6.3 по известным β и P_ω .

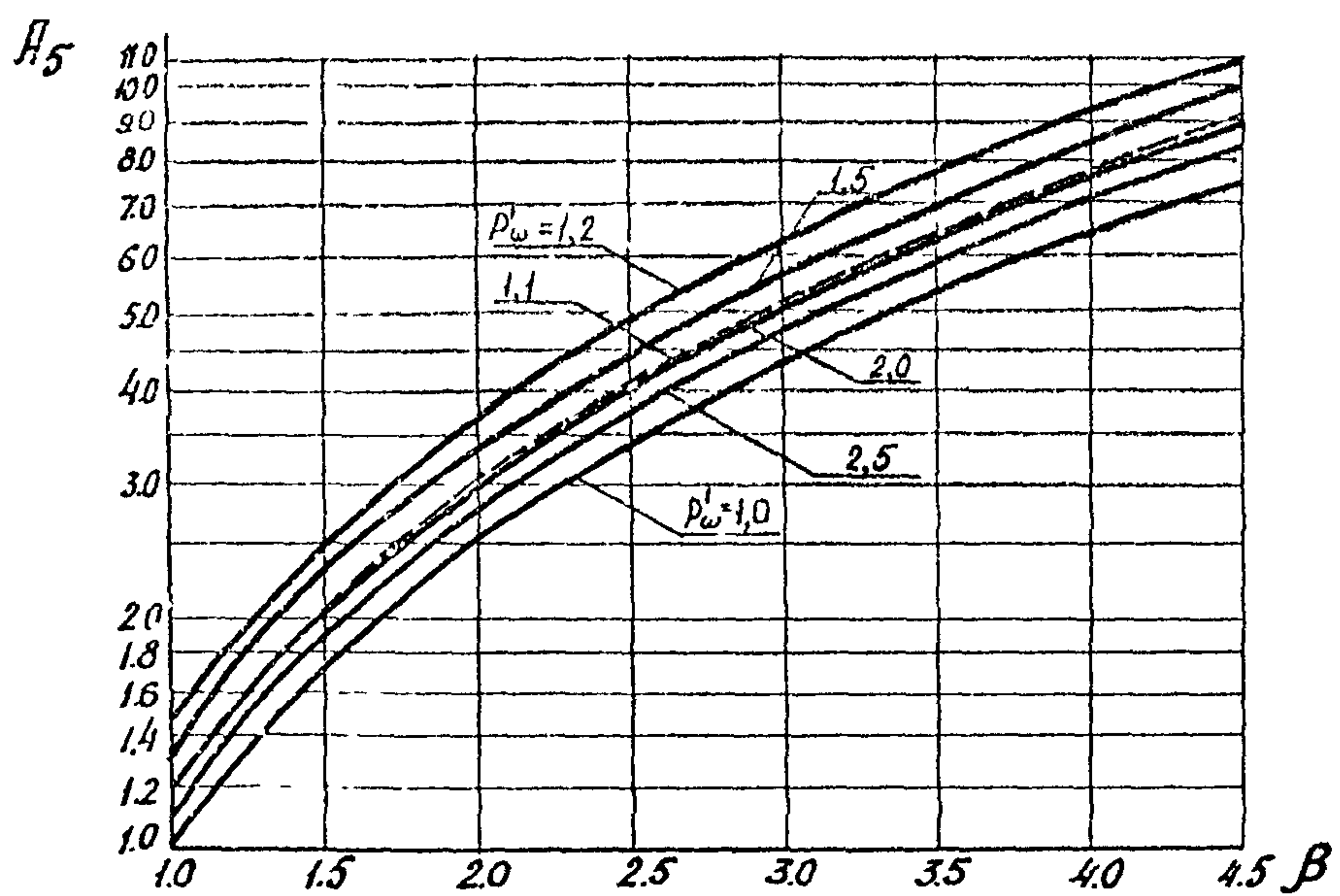


Рис. 6.3. График для определения параметра A_5

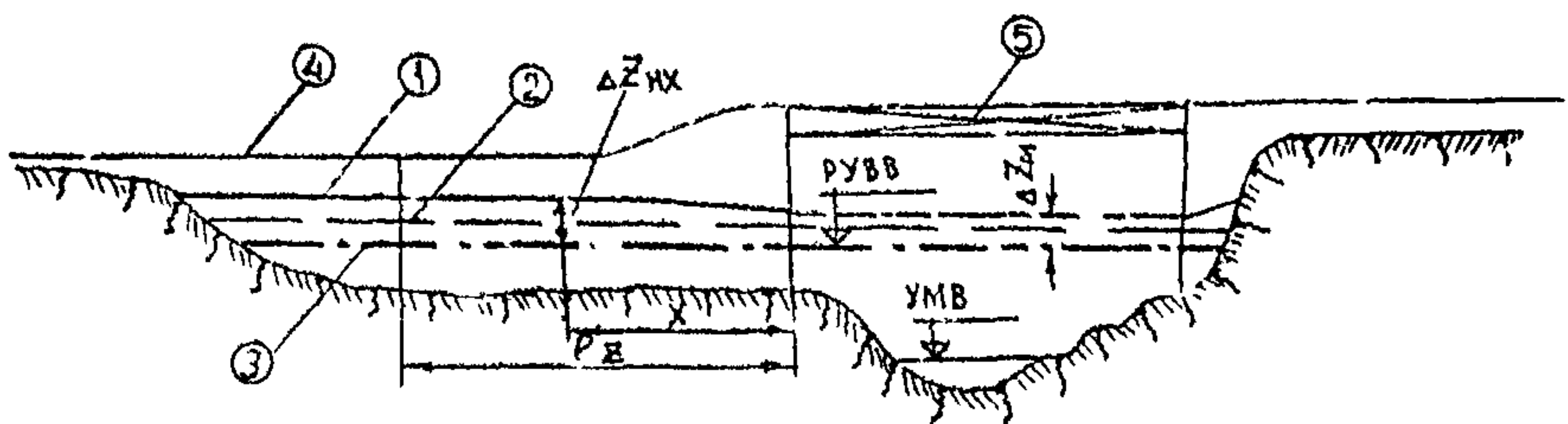


Рис.6.4 Профиль свободной поверхности вдоль пойменных насыпей:

- 1 - профиль с верховой стороны;
- 2 - профиль с низовой стороны;
- 3 - бытовая свободная поверхность;
- 4 - насыпь; 5 - мост;

Параметр A_5 может быть определен по формуле:

$$A_5 = \lambda^2 \beta^{4/3}, \text{ при } R_\omega \leq 1,2;$$

$$A_5 = \frac{1.5 \beta^{4/3}}{\lambda^{1/3}}, \text{ при } R_\omega > 1,2.$$

Дальнейший расчет выполняется методом последовательных приближений аналогично расчету начального подпора.

$$\text{При этом } \Sigma_m = \frac{h_m + \Delta Z_m}{h_m}$$

где h_m — средняя глубина под мостом до размыва

$$h_m = \frac{h_{p5} B_{p5} + h_{p6} (L_k - B_{p5})}{L_m} \quad (6.14)$$

Построение кривой свободной поверхности с верховой стороны насыпи (см. рис. 6.4) производится с использованием формулы:

$$\Delta Z_{nz} = (\Delta Z_n - \Delta Z_m) \left[1 - \left(\frac{\ell_z - X}{\ell_z} \right)^3 \right] + \Delta Z_m, \quad (6.15)$$

где ΔZ_{nz} — подпор у насыпи на расстоянии X от устоя моста при $X < \ell_z$.

При $X > \ell_z$, $\Delta Z_{nz} = \Delta Z_n$.

Поверхность у низового откоса практически горизонтальна и имеет отметку, соответствующую уровню воды у низовых струенаправляющих дамб, которая определяется по формуле подмостового подпора (6.9), но при $A_g = \ell_{sm} J_d$.

7. РАСЧЕТ ПЕРЕХОДА С НЕСКОЛЬКИМИ МОСТАМИ В ПРЕДЕЛАХ ОБЩЕЙ ЗОНЫ РАЗЛИВА

Расчет нескольких отверстий ведется графо-аналитическим методом из условия равенства общих подпоров перед мостами [3].

Расчет перехода с двумя мостами выполняется с учетом русловых деформаций под обоими мостами. При влечении руслоформирующих наносов для определения полного подпора общий размыв определяется по формуле верхнего предела размыва (см.п.4). При отсутствии влечения наносов под пойменным мостом расчет ведется в предположении прохода расчетного паводка по неразмытому дну, т.е. без учета русловых деформаций.

При определении наибольшего расхода, идущего под пойменный мост при влечении руслоформирующих наносов, русловые деформации определяются по формуле гипотетического предела размыва (см.п.4). При определении наибольшего расхода, идущего под пойменный мост при отсутствии влечения наносов на пойме, русловые деформации вычисляются по формуле:

$$h_{pm} = \frac{\beta_p U_{ns} h_{ns}}{U_{nep}(1-\lambda)} \quad (7.1)$$

где: h_{ns} и h_{pm} - соответственно глубина на пойме до и после размыва;

U_{nep} - неразмывающая скорость для грунтов поймы;

U_{ns} - бытовая скорость на пойме;

λ - относительная ширина промежуточных опор;

β_p - коэффициент стеснения пойменного потока.

При слоистом геологическом строении пойменных участков расчет следует вести графо-аналитическим методом.

Расчет рекомендуется выполнять в следующем порядке [9].

1. Задаются величинами отверстий мостов.
 2. Выбираются произвольно три различных положения водоразделительной линии между мостами.
 3. Расстояние ℓ от оси мостового перехода до расчетного (нулевого) створа выбирается заранее выше створа разделения потока на два самостоятельных. Обычно ℓ принимается равной ширине разлива реки B_0 .
 4. При каждом положении водоразделительной линии определяются величины русловых деформаций с учетом указаний, изложенных выше.
 5. При каждом положении водоразделительной линии по формуле (4.2) определяются расстояния до створов с начальным подпором ($\ell_{\text{ок}}$) перед каждым мостом и по формуле (6.1) вычисляются значения этих подпоров (ΔZ_0).
 6. Определяются расстояния от створов с начальным подпором до нулевого створа (ℓ_0) и вычисляются величины общего подпора в нулевом створе (ΔZ_{05}) для каждого моста при трех положениях водоразделительной линии.
- $$\Delta Z_{05} = \Delta Z_0 - J_s \ell_0 \left(\frac{\sum_{\text{ок}}^{1/3} - I}{\sum_{\text{ок}}^{1/3}} \right), \quad (7.2)$$
- где $\sum_{\text{ок}}$ — средний относительный подпор на рассматриваемом участке.
7. Странятся кривые изменения общих подпоров в нулевом створе для пойменного моста $\Delta Z_{05(\text{пм})} = f(Q_{\text{пм}})$, и основного моста $\Delta Z_{05(\text{м})} = f(Q_{\text{м}})$ в зависимости от положения водоразделительной линии. Пересечение кривых определяет значение расхода, идущего под пойменный мост, и соответствующее ему положение водоразделительной линии.

При устройстве на общем разливе реки более двух отверстий определяется ΔZ_{os} для двух крайних отверстий, а затем, принимая для средних отверстий ΔZ_{os} несколько меньше, чем получены для крайних отверстий, по которым определяются границы водоразделов для средних отверстий. Далее, для средних отверстий производится самостоятельный расчет при трех положениях водоразделов. После построения кривой связи общих подпоров перед крайними отверстиями и расчетными значениями общих подпоров перед средними $\Delta Z_{os(kp)} = f(\Delta Z_{os(s_p)})$, под углом 45° к оси абсцисс проводится прямая линия, пересечение которой с кривой дает искомое значение общего подпора ΔZ_{os} (расч.). По полученному значению общего подпора, одинакового перед всеми мостами, определяется положение водоразделятельных линий между отверстиями и соответствующие значения расходов.

8. НАЗНАЧЕНИЕ УКРЕПЛЕНИЙ ПОДХОДОВ К МОСТУ

Наиболее частыми повреждениями насыпей подходов являются обрушения откосов из-за потери устойчивости, размыва продольным течением, разрушения волнобоем, повреждения ледоходом.

Для обеспечения устойчивости откосы насыпей уплотняются, а также устраивают бермы с отметкой низкой насыпи с целью пригрузки плавней части откоса. Кроме того, бермы служат для обеспечения проезда автотранспорта на регуляционные сооружения при ремонтных работах.

Верхнюю часть откоса подходов, не подверженную воздействиям высоких вод, укрепляют, как обычную насыпь, с целью защиты от ветровой эрозии и размыва стекающими струйками воды.

Конструкцию укрепления части откоса, подверженной воздействиям высоких вод, назначают по соображениям защиты насыпи от волнобоя и продольных течений. При назначении конструкций и расчетах укреплений следует руководствоваться СН 449-72 [14] и типовыми проектами укреплений [15, 16].

Для активной защиты откосов пойменных насыпей при продольном течении, при отсутствии значительного волнобоя, устраивают также поперечные сооружения — траверсы, отжимающие поток от верхового откоса насыпи (см. НИМЦ-72, § 64).

Расчет местной устойчивости основания плиткой защиты откосов при волновом воздействии рекомендуется производить по методу И.А.Ярославцева [17], который приводится ниже.

В результате расчета определяется минимально допустимая толщина плиты δ см, при которой грунтовое основание остается

устойчивым при ветровом волнении заданных параметров.

$$\delta_{\text{ш}} = (ah_s + b\lambda)k_{\text{ш}} \text{ (см)},$$

где: h_s - высота волны в м,

λ_s - длина волны в м,

a, b - коэффициенты, определяемые по зависимостям:

$$b = C_1 + (C_2 - C_3)h_s$$

$$a = C_4 - C_5 b$$

$C_1 - C_5$ - коэффициенты, определяемые в зависимости от вида грунта (по СНиП II-15-74) и крутизны откоса m .

Пески пылеватые и малкозернистые

m	C_1	C_2	C_3	C_4	C_5
2,0	0,62	0,39	0,06	10,32	9,01
2,5	0,42	0,20	0,03	11,24	12,87
3,0	0,37	0,12	0,02	11,65	16,84
3,5	0,37	0,11	0,02	12,04	20,04
4,0	0,37	0,08	0,01	12,80	23,74

Пески средние и крупнозернистые

m	C_1	C_2	C_3	C_4	C_5
2,0	0,39	0,22	0,03	10,75	11,19
2,5	0,37	0,13	0,02	11,48	16,12
3,0	0,34	0,12	0,02	11,53	18,95
3,5	0,35	0,09	0,01	11,87	21,69
4,0	0,36	0,08	0,01	12,59	25,16

Коэффициент $K_{\text{ш}}$ - учитывающий толщину или отсутствие щебеночной подготовки, равен:

- при отсутствии подготовки ($\delta_{\text{ш}} = 0$)

$$K_{\text{ш}} = 0,95 + 0,075 \sqrt{h_s};$$

при $\delta_{\text{ш}} = 0,1 \text{ м}$ $K_{\text{ш}} = 1$;

$$\text{при } \delta_{\text{ш}} = 0,2 \text{ м} \quad K_{\text{ш}} = \frac{I}{h_s + 2,85} - 0,015 \frac{\lambda_s}{h_s} + C_6$$

Во всех формулах h_s и λ_s в м.

Коэффициент C_6 определяется по таблице в зависимости от крутизны откоса.

m	2,0	2,5	3,0	3,5	4,0
C_6	0,845	0,88	0,91	0,94	0,95

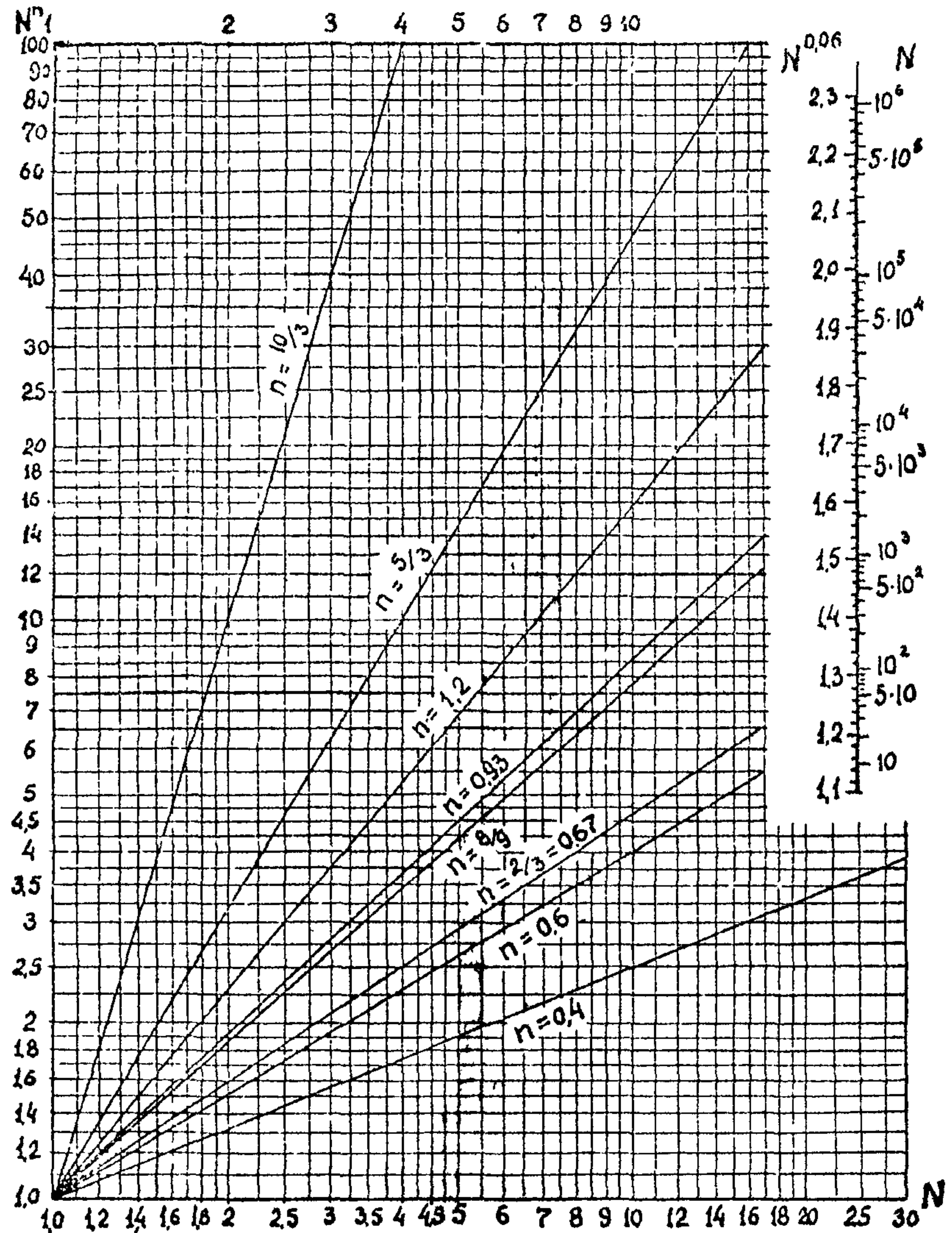
Формула для определения $\delta_{\text{пл}}$ справедлива для указанных в табл. песчаных грунтов и при следующих условиях:

$0,5 \text{ м} \leq h_s \leq 4,0 \text{ м}; \quad 7 \leq \frac{\lambda_s}{h_s} \leq 18; \quad 2 \leq m \leq 4;$
 $\delta_g \leq 0,2 \text{ м}. \quad \text{Длина ребра плиты } B_{\text{пл}} \geq 12\delta_{\text{пл}}.$

СИСТОМЫ ЛИТЕРАТУРЫ

1. Андреев О.В. Проектирование мостовых переходов. М., Автотрансиздат, 1980, 295 с.
2. Андреев О.В., Глаголева Т.Н., Федотов Г.А., Абрамов Г.В. Основы расчета мостовых переходов. М. "Высшая школа", 1971, 145 с.
3. Бабков В.Ф., Андреев О.Р., Проектирование автомобильных дорог, Том II, М., "Транспорт", 1979, 407 с.
4. Андреев О.В., Федотов Г.А. Упрощенный расчет общего размыва "Автомобильные дороги", № II, 1979, с.15-17.
5. Федотов Г.А. Расчет мостовых переходов с применением СВМ, М., "Транспорт", 1977, 206 с.
6. Федотов Г.А., Расчет срезок на мостовых переходах. "Автомобильные дороги", № 8, 1979, с.21-22.
7. Андреев О.В., Федотов Г.А., Пустова Л.А. Методика расчета подпора на мостовых переходах. "Автомобильные дороги", № I, 1979, с.23-25.
8. Наставление по изысканиям и проектированию железнодорожных и автодорожных мостовых переходов через водотоки. ЦНИИС-Главтранспроект (НИМШ-72), М., "Транспорт", 1972, 280 с.
9. Федотов Г.А., Пустова Л.А. Методика проектирования мостовых переходов с пойменными отверстиями. "Автомобильные дороги", № I, 1977, с.23-25.
10. Программа расчета мостовых переходов ГИДРАМ-З и РУР-1, Гипротрансмост., М., 1976, 63 с.
11. Методическое пособие по гидрологическому и гидравлическому обоснованию проектов мостовых переходов. Гипродорнии, М. 1976. 63 с.
12. Куравлев М.М. Расчет местного размыва у опор мостов в несвязных грунтах. "Автомобильные дороги", № 6, 1979, с.26-28.
13. Технические указания по расчету местного размыва у опор мостов, струенаправляющих дамб и траверсов. (ВСН 62-69), М., Оргтрансстрой, 1970, с.40.
14. Указания по проектированию земляного полотна железных и автомобильных дорог (СН 449-72). М., "Стройиздат", 1973, с.112.
15. Альбом конструкций креплений откосов земляного полотна железных и автомобильных дорог общей сети Союза ССР. Мосгипротранс, Главтранспроект, М., 1970, с.197.
16. Технические указания по применению сборных решетчатых конструкций для укрепления конусов и откосов земляного полотна. (ВСН 181-74), М., Оргтрансстрой, 1974, с.50.
17. Ярославцев И.А., Крылов В.В. Расчет работающих на волну плитных покрытий откосов по условию устойчивости оснований. "Транспортное строительство", № 3, 1980.
18. Методические указания по инженерно-гидрометеорологическим изысканиям автомобильных дорог. Союздорпроект, 1974.

ПРИЛОЖЕНИЕ I

График для возвведения числа N в степень p

Приложение 2.

ПРИМЕР РАСЧЕТА

Исходные данные

Расчетный уровень высоты воды	$H_{I,3} = 103,60 \text{ м}$
Средняя отметка дна русла до размыва	$H_{AP} = 91,70 \text{ м}$
Средняя отметка поймы	$H_P = 99,80 \text{ м}$
Бытовая ширина русла	$B_{Pb} = 750 \text{ м}$
Ширина разлива	$L_0 = 5100 \text{ м}$
Общий (расчетный) расход	$Q_{\%} = 20,000 \text{ м}^3/\text{сек}$
Русловой бытовой расход	$Q_{Pb} = 11700 \text{ м}^3/\text{сек}$
Бытовой уклон свободной поверхности	$J_b = 0,00005$
Средняя бытовая глубина потока	$h_b = 5,04 \text{ м}$
Полнота паводка	$\Pi = 0,5$
Средний диаметр грунта в русле	$d_{cr} = 0,2 \text{ мм}$

Дополнительно необходимо иметь следующий графический материал:
 1) морфоствор по оси перехода; 2) план мостового перехода;
 3) водомерный график расчетного паводка; 4) график обеспеченности уровней.

I. Расчет уширения русла под мостом и назначение отверстия моста

Определяем степень стеснения потока подходами

$$\beta = \frac{Q_{\%}}{Q_{Pb}} = \frac{20,000}{11,700} = 1,71$$

Частота затопления поймы $P_{\Pi} = 95\%$. Согласно таблице 3.1 возможно уширение русла под мостом, поэтому вычисляем ширину русла под мостом после размыва.

По графику на рис. 3.2 при $P_{\Pi\%} = 95\%$ и $\beta = 1,71$
 $K_{P\%} = 0,9$; По графику на рис. 3.3 при $\Pi = 0,5$ и $\beta = 1,71$ $K_{\Pi} = 0,17$.

По формуле 3.1:

$$B_{pm} = B_{Pb} \left[(\beta^{0,93} - 1) K_{\Pi} K_{P\%} + 1 \right] = 750 \left[(1,71^{0,93} - 1) \cdot 0,17 \cdot 0,9 + 1 \right] = \\ = 825 \text{ м.}$$

Определим необходимое (минимальное) отверстие моста:

$$L_{\text{н}} = \delta B_{\text{рн}}; \sum l_{\text{оп}} + \sum l_{\text{укр}} + 2m h_{\text{лк}} = I, I \cdot 825 + 24 + 8,0 + 2 \cdot 2 \cdot 3,80 = \\ = 955 \text{ м.}$$

Ввиду того, что на пойме современный аллювий подстилается мощным слоем слабых илов, которые могут дать значительную осадку, высокая насыпь заменена пойменной эстакадой. Общее отверстие моста ($L_{\text{н}}$) приято 1200 м.

Учитывая, что значительную часть подмостового отверстия составляет пойменная часть, пересчитываем степень стеснения потока:

$$\beta = \frac{Q_{\text{рн}}}{Q_{\text{рн}} + Q_{\text{лв}}(L_{\text{н}} - B_{\text{рн}})}; \text{ где: } Q_{\text{рн}} = \frac{I_2 \cdot Q_{\text{р2}}}{B_0 - 3r_{\text{рн}}} = \frac{20.000 - II.700}{5100 - 750} = I,91 \text{ м}^2/\text{сек};$$

$$\text{тогда } \beta = \frac{20.000}{II.700 + I,91(I200 - 825)} = I,61,$$

$\beta = I,61 < I,70$, следовательно, уширения русла под мостом не будет.

II. Расчет общего размыва под мостом

Для определения группы мостового перехода найдем время предельного размыва:

$$t_{\text{к}} = \frac{l_{\text{сж}} h_{\text{рн}} (k_{\phi} + 2x)}{172800 q_{\text{р}}}$$

Для этого определим длину зоны сжатия:

$$l_{\text{сж}} = \frac{B_0 - L_{\text{н}}}{I + \frac{\ell_{\text{мп}}}{\ell_{\text{сп}}}} = \frac{5100 - I200}{I + 0/4350} = 3900 \text{ м.}$$

Для определения погонного расхода насосов при $d_{\text{ср}} = 0,2 \text{ мм}$ по рис. 4.3 находим $A_g = 3,35 \cdot 10^{-4}$ и $A_b = 5,15 \cdot 10^{-4}$ и по рис. 4.2

$$U_{\text{нор}} = 0,78 \text{ м/сек и } U_{\text{рн}} = \frac{Q_{\text{рн}}}{h_{\text{рн}} B_{\text{рн}}} = \frac{II,7000}{II,90 \cdot 750} = I,31 \text{ м/сек.}$$

$$\text{Тогда } Q_B = \left(-\frac{A_B}{h^{1/4}} + A_B \right) (U_{B6} - U_{Bep}) \cdot U_{B6}^3 = \\ = \left(\frac{3,35 \cdot 10^{-4}}{11,90^{1/4}} + 5,15 \cdot 10^{-4} \right) (1,31 - 0,73) \cdot 1,31^3 = 8,41 \cdot 10^{-4} \text{ м}^2/\text{сек.}$$

Определяем коэффициент, учитывающий фарху воронки:

$$K_{\Phi B} = 0,4 \left(\frac{\ell_{B6}}{\ell_{B6}} - 0,5 \right)^2 + 0,8 = 0,4 \left(\frac{0}{4350} - 0,5 \right)^2 + 0,8 = 0,90;$$

По методике, изложенной в § 64 НПП-72, рассчитана статическая длина
перхолоч. дамбы и получено $\ell_{B6} = 430$ м, тогда относительная длина
перхолоч. дамбы

$$\chi = \frac{\ell_{B6}}{\ell_{CJ}} = \frac{430}{3900} = 0,11.$$

Тогда

$$t_h = \frac{\ell_{CJ} h_{B6} (K_{\Phi B} + 2\chi)}{I72800} = \frac{3900 \cdot 11,90 (0,90 + 2 \cdot 0,11)}{I72800 \cdot 8,41 \cdot 10^{-4}} = 358 \text{ сут.}$$

Продолжительность расчетного паводка согласно водомерному
графику $t_{\text{пав}} = 58$ сут.

$$\frac{t_{\text{пав}}}{t_h} = \frac{58}{358} = 0,162 > 0,15 \text{ и согласно табл. 4.1 этот}$$

переход относится к II группе мостовых переходов, для которой
глубина общего размыва определяется по гипотетическому пределу.

$$h_{pm(r)} = h_{B6} \left[(\beta^{8/9} - 1) I^{1/2} + I \right] \left[\frac{B_{B6}}{B_{pm}(I - \lambda)} \right]^{2/3} = 11,90 \left[(1,61^{8/9} - 1) \right. \\ \left. \times 0,5^{1/2} + I \right] \left[\frac{750}{750 \cdot 0,97} \right]^{2/3} = 13,6 \text{ м.}$$

Для проверки группы мостового перехода по второму признаку
определяем глубину размыва по верхнему пределу. По рис. 4.1
при $\beta = 1,61$ и $\frac{t_{\text{пав}}}{t_h} = 0,162$ $K_t = 0,56$;

$$h_{pm}(v) = h_{pb} \left[(\beta^{8/9} - 1) \frac{I}{2} K_s + I \right] \left[\frac{B_{pb}}{B_{pm}(I - \lambda)} \right]^{2/3} = 11,90 \left[(1,61 - \right. \\ \left. - 1) 0,5 \cdot 0,56 + I \right] \left(\frac{750}{750 \cdot 0,97} \right)^{2/3} = 12,9 \text{ м.}$$

$h_{pm}(r) > h_{pm}(v) > h_{pm}(r) \cdot 0,85 = 11,6$ м, следовательно по этому признаку переход относится к III группе.

III. Расчет местного размыва у опор

Для опор моста согласно ВСН 62-69 принимаем коэффициент косины потока $K_s = 1,0$ и коэффициент формы $K_f = 1,15$; приведенная ширина опоры $B = 2,2$ м, глубина потока $H = 16,2$ м и $U = U_{pm} \left(\frac{h_{max}^{2/3}}{h_{pm}} \right)^{2/3} = 1,2$ м/сек.

Так как в воронку размыва поступают наносы, $U > U_{res}$, размыв определяется по формуле (5,1):

$$h = 1,1 \sqrt{BH} \left(\frac{U}{U_b} \right)^n K_f K_s .$$

Предварительно по рис. 5,1 для $H = 16,2$ и $d_s = 0,2$ ми получим $U_b = 2,95$ м/сек.

Так как $\frac{U}{U_b} \left(\frac{H}{d_s} \right)^{0,06} = \frac{1,2}{3,3} \left(\frac{16,2}{0,0003} \right)^{0,06} = 0,7 < 1$, $n = 0,67$,

тогда $h = 1,1 \sqrt{2,2 \cdot 16,2} \left(\frac{1,2}{2,95} \right)^{0,67} = 1,0 \cdot 1,0 = 3,62$ м.

IV. Расчет характерных подпоров

Начальный подпор определяем по формуле

$$\Delta Z_0 = A_I \left(\frac{2}{\epsilon^{10/3}} - 1 \right);$$

где: $A_1 = \frac{3}{2} l_{\omega} J_s (I + \chi) = \frac{3}{2} \cdot 3900 \cdot 0,00005' I, 0, II = 0,35$.

Для определения A_2 по формуле (6,4) найдем среднюю глубину размыва на пике первого расчетного паводка:

$$h'_{pm} = h_{pb} + 0,7(h_{pm(b)} - h_{pb}) = II,90 \cdot 0,7(12,90 - II,90) = 1,6$$

и по формуле (6,3) коэффициент размыва:

$$\rho'_\omega = \frac{h'_{pm} B_{pm} + h_{pb}(L_m - B_{pm})}{h_{pb} B_{pb} + h_{pb}(L_m - B_{pb})} = \frac{12,6 \cdot 750 + 3,80(1200 - 750)}{11,90 \cdot 750 + 3,80(1200 - 750)} = 1,35.$$

При $\beta = 1,61$ и $\rho'_\omega = 1,05$ по графику на рис. 6.2 $A_2 = 2,25$.

Определяем ΔZ_0 методом последовательных приближений. Если при начать с $\varepsilon = 1$, то значения ΔZ_0 не сходятся, поэтому за I. Член ос значение принимаем $\varepsilon = 1,1$.

1. При $\varepsilon_1 = 1,1$; $\Delta Z_0 = (1,1)h_s - h_s = 1,1 \cdot 5,04 - 5,04 = 0,50$,

$$\Delta Z_{01} = 0,325 \left(\frac{2,25}{1,1} \right)^{10/3} - 1 = 0,208 \text{ м.}$$

2. При $\Delta Z_{02} = \frac{0,502 + 0,208}{2} = 0,355$; $\varepsilon_2 = \frac{h_s + \Delta Z_{02}}{h_s} = \frac{5,04 + 0,355}{5,04} = 1,07$

$$\Delta Z_{03} = 0,325 \left(\frac{2,25}{1,07} \right)^{10/3} - 1 = 0,206 \text{ м.}$$

3. при $\Delta Z_{04} = \frac{0,355 + 0,206}{2} = 0,280$; $\varepsilon_3 = \frac{5,04 + 0,280}{5,04} = 1,055$

$$\Delta Z_{05} = 0,325 \left(\frac{2,25}{1,055} \right)^{10/3} - 1 = 0,285 \text{ м.}$$

принимаем $\Delta Z_0 = \frac{0,280 + 0,285}{2} = 0,28 \text{ м.}$

при этом $\varepsilon = 1,06$.

При $J_b = 0,00005 < 0,0001$ полный подпор перед мостом

$$\Delta Z = \Delta Z_0 = 0,28 \text{ м.}$$

Помостовой подпор определяем по формуле

$$\Delta Z_m = A_3 \left(\frac{A_5}{\varepsilon_m^{10/3}} - I \right) - A_4;$$

$$\text{где } A_3 = \frac{I}{2} l_{cm} J_b (2+\beta) = \frac{I}{2} 3900 \cdot 0,00005 (2+0,12) = 0,206;$$

при $\beta = 1,61$ и $P_c = 1,05$ по графику на рис. 6,3 $A_5 = 2,1$;

$$A_4 = \frac{\alpha_m U_m^2 - \alpha_b U_b^2}{U_b^3 (\omega_{pb} + \sum \omega_{nb})}.$$

$$\alpha_b = \frac{U_{pb}^3 \omega_{pb} + U_{nb}^3 \sum \omega_{nb}}{U_b^3 (\omega_{pb} + \sum \omega_{nb})} + 0,2 = \frac{1,31^3 \cdot 750 \cdot 1,90 + 0,50^3 \cdot 16,500}{0,78^3 \cdot 25,440} + 0,2 =$$

$$= 2,04.$$

$$\alpha_m = (\alpha_b - 1,2) - \frac{L_m - B_{pb}}{B_m - B_{pb}} + 1,2 = (2,04 - 1,2) \frac{1200 - 750}{5100 - 750} + 1,2 = 1,29,$$

$$U_m = \frac{Q_f \%}{h'_{pm} V_{pm} + h_{nb} (L_m - V_{pm})} = \frac{20,000}{12,6 \cdot 750 + 3,80 (1200 - 750)} = 1,79 \text{ м/сек.}$$

$$A_4 = \frac{1,29 \cdot 1,79^2 - 2,04 \cdot 0,78^2}{2 \cdot 9,81} = 0,149.$$

Определяем ΔZ_m методом последовательных приближений:

$$1) \text{ принимаем } \varepsilon_m = 1,0, \text{ тогда } \Delta Z_m = 0,206 \left(\frac{2,1}{1} - 1 \right) - 0,149 = 0,078$$

$$2) \Delta Z_{m2} = \frac{0 + 0,078}{2} = 0,039,$$

$$h_m = \frac{h'_{pm} V_{pm} + h_{nb} (L_m - V_{pm})}{L_m} = \frac{12,6 \cdot 750 + 3,80 (1200 - 750)}{1200} = 9,3 \text{ м.}$$

$$\varepsilon_{m2} = \frac{9,3+0,039}{9,3} = 1,003$$

$$\Delta Z_{m3} = 0,206 \left(\frac{2,1}{1,003^{10/3}} - 1 \right) - 0,149 = 0,073;$$

$$3) \Delta Z_{m4} = \frac{0,039+0,073}{2} = 0,056; \quad \varepsilon_{m3} = \frac{9,3+0,056}{9,3} = 1,007,$$

$$\Delta Z_{m5} = 0,206 \left(\frac{2,1}{1,007^{10/3}} - 1 \right) - 0,149 = 0,050$$

$$\text{Принимаем } \Delta Z_m = \frac{0,056+0,050}{2} \approx 0,05 \text{ м.}$$

Максимальный подпор у насыпи определяем по формуле:

$$\Delta Z_n = \Delta Z + J_b l_2 ,$$

$$\text{где } l_x = \frac{\beta \varepsilon_{\%}}{\beta - 1} \quad l_{ex} = \frac{1,6I / 1,06^{5/3} - 1}{1,6I - 1} \cdot 3900 = 2940 \text{ м,}$$

$$\text{тогда } \Delta Z_n = 0,28 + 0,00005 \cdot 2940 = 0,43 \text{ м.}$$

У. Расчет перехода с двумя мостами в пределах общей зоны разлива

Рассмотрим вариант перехода с устройством дополнительного отверстия на русской протоке.

Дополнительные исходные данные :

Средняя отметка дна протоки до размыва $H_d(n) = 98,2 \text{ м.}$

Бытовая ширина русла протоки $B_{pb}(n) = 150 \text{ м}$

Русской бытовой расход протоки $Q_{pb}(n) = 615 \text{ м}^3/\text{сек.}$

Через коренное русло оставляем мост с таким же отверстием $L_{n0} = 1200 \text{ м, а через протоку } L_n(n) = 350 \text{ м.}$

Насначаем три положения водораздельной линии (см.рис.) и для каждого вычисляем общий размык под обоими мостами по гипотетическому пределу ($H_{rm}(r)$), и с его учетом - начальный подпор (ΔZ_0), а по нему - общий подпор (ΔZ_{ob}).

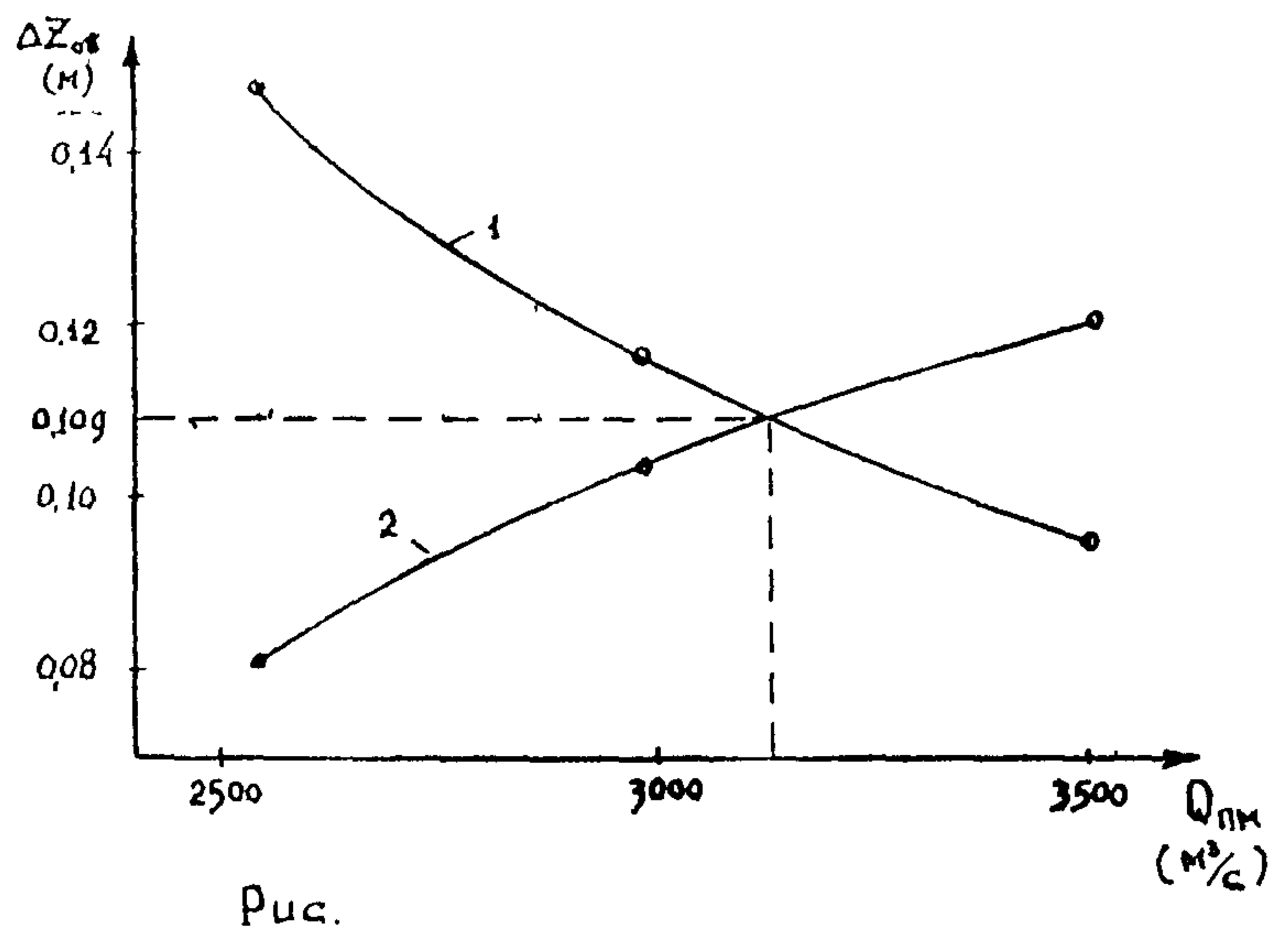
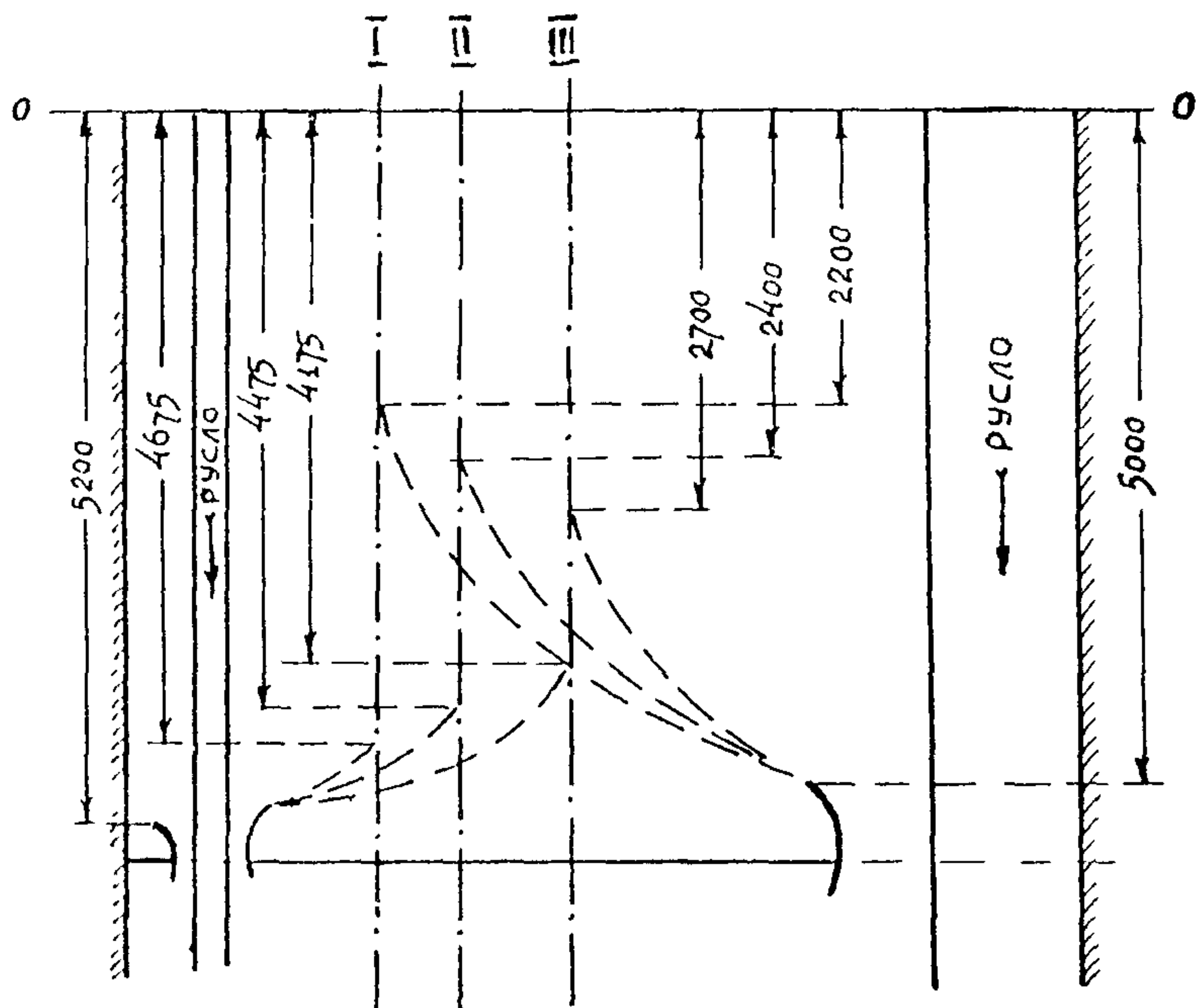


Рис.

Расчеты сведены в таблицу

Наименование параметра	Расчетная формула или график	Полож. водор. линии	Полож. водор. линии	Полож. водор. линии
I	2	3	4	5
Bpm, м	-	4000	3800	3500
Bpm, м	Bo-Bpm	II00	I300	I600
Qpm, м ³ /сек	-	2550	2930	3500
Qpm, м ³ /сек	-	I7450	I7070	I6500
β_{pm}	см.п.3	I,4	I,37	I,320
β_{pm}	-"	2,5	2,87	3,43
ℓ_{oj}, pm, m	форм.4,2	2800	2600	2300
$\ell_{osj} pm, m$	-"	525	725	I025
x_{pm}	форм.4.5	0,38	0,276	0,19
x_{pm}	-"	0,I4	0,I54	0,I7
$h_{pm}(p), m$	рис.4.I	I4,84	I4,6I	I4,29
$h_{pm}(n), m$	-"	I0,20	II,32	I3,00
$P_w(p)$	Форм.6.3	I,207	I,I9	I,168
$P_w(n)$	-"	I,46	I,566	I,726
$\Delta Z_o(p), m$	Форм.6.I	0,I59	0,I28	0,I05
$\Delta Z_o(n), m$	-"	0,095	0,II8	0,I36
$\ell_o(p), m$	см.рис.	2200	2400	2700
$\ell_o(n), m$	-"	4675	4475	4I75
$\Delta Z_{ob}(p), m$	Форм.7.2	0,I48	0,II9	0,096
$\Delta Z_{ob}(n), m$	-"	0,082	0,I02	0,II9

Строим кривые изменения общих подпоров в пулевом створе для моста через протоку $\Delta Z_{ob}(n) = f(Q_{pm})$ и основного моста $\Delta Z_{ob}(p) = f(Q_{pm})$ в зависимости от положения водоразделительной линии (см.рис.). Поресечение кривых дает $\Delta Z_{ob} = 0,109$ и $Q_{pm} = 3130 \text{ м}^3/\text{сек}$, тогда расход, приходящийся на основной мост, составит : $Q_{pm} = Q_{I,3} - Q_{pm} = 20.000 - 3.130 = 16,870 \text{ м}^3/\text{сек}$.

Дальнейший расчет производится для каждого моста отдельно по методике, изложенной выше.